

chemie Aktiengesellschaft
Oberhausen-Holten

Abt. III - Nr.

40/2/7

Herren

Prof. Martin

Dr. Nagelmann

Dir. Alberto

Dr. Kolling

Akten

13. März 1940.

Dr. Zilly

Dipl.-Ing. Spiek

Dipl.-Ing. Stahlpfeffer

002914

In der Anlage überreiche ich eine Übersetzung
betr. "Katalytische Oxydation von aliphatischen Kohlenwasser-
stoffen".

Dr. F. Lüng

26. Februar 1940.

40/2/7

AN 428

Übersetzung

aus Journal of the American Chemical Society
61 3571 - 3580 (1939).

002915

Die Katalytische Crackung von aliphatischen
Kohlenwasserstoffen.

Von G.Egloff, J.C.Morrell, Ch.L.Thomas und
H.S.Bloch.

Die thermische Zerlegung von langkettigen aliphatischen KW. ist durch nicht selektive Ketten-spaltung, die von Gesichtspunkt der Nützlichkeit nicht wünschenswert ist, charakterisiert; es wurden daher in einer kleinen systematischen Arbeit Katalysatoren entwickelt, welche eine selektive Ketten-spaltung bewirken. Ein Rückblick auf das Arbeitsgebiet (1) führte zur Ansicht, daß schwer reduzierbare feste Oxyde die wirksamsten Katalysatoren für die Spaltung der C-C-Bindung sind. In der folgenden Arbeit wurde die Wirkung eines aktiven Al-Silikates auf die Reaktionen von n-Butylen, n-Pentylen, n-Octen, Ceton, n-Octan und Cetan unter Bedingungen studiert, welche einen Vergleich 1.) zwischen katalysierten und nicht katalysierten Reaktionen, einen Vergleich 2.) der Crackung von Paraffinen und Olefinen der gleichen Kettenlänge und 3.) der Homologen in den Paraffin- und Olefinreihen gestatten.

Reaktion von n-Butylen. Über die Isomerisierung einer Mischung von n-Butylenen zu Isobutylen in Gegenwart von Katalysatoren, welche Phosphorsäure auf verschiedenen Trägern enthält, wurde berichtet (2)(3). Frost und Mitarbeiter fanden, daß die reversible Isomerisierung von 1- und 2-Butylen der Gleichgewichtsgleichung

$$\log K_p = \frac{104}{T} 0.528 \pm 0.020$$

folgt. Bei 300° enthielt die Gleichgewichtsmischung gleiche Mengen von gerad- und verzweigkettigen Butylenen.

N142
002916

In unseren Versuchen wurden die n-Butylene über den Katalysator bei Temperaturen von 385 bis 600° geleitet. Die Resultate sind in Tabelle I zusammengestellt.

Tabelle I

Isomerisierung von n-Butylen.

Ofentemp. °C	385	400	450	500	550	600	600	
Vers. Dauer Std.	0,75	2	2	2	2	2	0,5	
Ström.Geschw.(Gas)	525	200	230	230	225	205	1150	
{höhrsiedend.Prod.	14	20,2	24,3	20,5	14,4	9,9	12,7	
{Gas	86	79,8	75,7	79,5	85,6	91,1	87,3	
Gew.% leichte Gase (C ₃ u. kleiner)	2,8	7,2	13,1	17,1	21,0	31,4	15,7	
{Isobutyle	8,0	11,6	14,1	15,9	15,0	14,2	17,1	
C ₄ -Fraktion, % Isobutyle	9,6	16,1	22,6	25,6	23,3	23,8	23,8	
Verh. Isobutyle/n-Butylen	0,11	0,20	0,33	0,40	0,37	0,38	0,34	
{H ₂	0,0	0,9	0,0	0,0	4,9	17,5	1,3	
{CH ₄	0,0	0,3	0,0	0,0	8,7	18,6	3,1	
Gas C ₂ H ₄	0,0	0,0	0,0	0,1	2,2	2,8	0,4	
Ana- lyse	C H	0,0	0,0	0,0	1,1	2,1	3,4	1,6
Vol.% C ₂ H ₆	3,5	10,4	17,8	22,6	18,7	14,0	17,3	
C ₃ H ₆	0,7	1,0	3,9	3,3	1,7	2,5	1,8	
C ₃ H ₈	9,2	14,1	17,7	18,7	14,4	9,8	17,8	
n C ₄ H ₈	83,6	69,4	53,0	46,5	38,9	25,7	52,9	
C ₄ H ₆		6,6	0,2	0,4	0,3		0,9	
C ₄ H ₁₀	1,0	3,7	7,3	7,4	8,2	5,6	3,0	

Angenommen wird unter den angewandten Bedingungen die Isomerisierung zu Isobutylen von einer bemerkenswerten Polymerisation zu höhrsiedenden Produkten und einer Zersetzung zu leichteren Gasen begleitet. Die Ausbeute an flüssigprodukten erreichte bei 450° ein Maximum von höchstens ungefähr 25% (bei einer Strömungsgeschwindigkeit von 200 - 230 Vol. Gas pro Vol. Katalysator in der Stunde). Die Ausbeute an leichten Gasen stieg gleichmäßig mit dem Steigen der Temperatur, sank aber scharf mit dem Steigen der Strömungsgeschwindigkeit.

- 3 -

A1430

002917

digkeit.

Bei einer Strömungsgeschwindigkeit von 200 - 230 war die Isomerisierung in einem Bereich von 450 - 600° nicht temperaturempfindlich. Die C₄-Fraktion des Produktes enthielt 24,1 ± 1,5 % Isobutylein. Die Gesamtisobutyleneinschätzung jedoch war bei einer Steigerung der Strömungsgeschwindigkeit bei 600° höher, da die Nebenreaktionen unterbrochen wurden, während der Isobutylenein gehalt des C₄-Produktes unverändert blieb. Die Tatsache, daß ein 5,7-faches Ansteigen der Strömungsgeschwindigkeit keine Änderung im Isobutylenein gehalt hervorruft, weist auf das Erreichen eines Pseudo-Gleichgewichtes hin; daß das wahre Gleichgewicht nicht erreicht wurde, wird durch das Verhältnis Isobutylein : n-Butylein, welches niemals 0,40 überschritt, angezeigt, obgleich entsprechend der Gleichung von Frost und Mitarbeitern (2) das Gleichgewichtsverhältnis zwischen 1,0 bei 300° und 0,66 bei 600° liegt.

Reaktionen von n-Pentylein. Das Studium über die katalytische Isomerisation wurde auf das nächsthöhere Homologe, das n-Pentylein ausgedehnt. Obwohl über die thermische Isomerisierung von 1-, und 2-Pentylein berichtet worden war (4), wurde die Arbeit vom gleichen Autor (5) in einer späteren Veröffentlichung nicht bestätigt; so daß kein zuverlässiger Nachweis einer solchen Isomerisierung weder einer thermischen noch einer katalytischen veröffentlicht wurde. Die "Zwischen-Isomerisierung" wurde jedoch endgültig festgestellt (4,5).

n-Pentene, welche durch katalytische Dehydrierung von n-Amylalkohol hergestellt worden waren, wurden bei 400° über den erwähnten Katalysator geleitet. Die Ergebnisse sind in Tabelle II gesagt.

- 4 -

Durchschrift

N1431

002912

Tabelle IX

Katalytische Zersetzung von n-Pentanen^{a)}

Ofentemperatur °	400
Vers.Dauer Std.	0,75
Strömungsgeschwind.	3,2
Ringesetztes Pentan g	150
(Gas < 15°)	7,6
Prod.	71,7
Gew.% C ₃ 15 - 45°	7,7
vom C ₆ 45 - 72°	7,7
Bin-	3,0
satz C ₇ - C ₉ 72-150°	3,1
C ₁₀ u.Rückstand > 150°	4,1
(Verluste	4
H ₂	3
Gas- C ₂ H ₄	3
ann- C ₃ H ₆	3
lyne 1-C ₄ H ₈	34
in C ₄ H ₈	26
Vol.% n-C ₄ H ₈	26
(CH ₂) ₂ (C = 2,21)	26

^{a)} enthält maximal 12,5 % Isopentane.

Das Destillat der C₃-Fraktion wurde dann über einen Ni-Katalysator bei 100° hydriert. Es enthielt 32 % Isopentan und 18 % n-Pentan. Die Umsetzung von n-Pentanen in Ethylbutylen betrug daher 53 % (7). Gleichzeitig wurden auch etwa 8 % Gas und 17 % höher als Pentylethen stehende Produkte gebildet. Da das Molverhältnis von C₄ : C₆ der wieder erhaltenen IV ungefähr 1,8 betrug, scheint wahrscheinlich, dass der größere Teil dieser IV durch Kermethung von dimerem Pentylethen gebildet worden zu sein.

Reaktionen von n-Pentanen, n-Octenen (durch katal. Dekhydratisierung von Octanol-2 gewonnen) wird beim Überführen über den Katalysator nicht nur isomerisiert, sondern auch zerlegt. Die 20%ige Cracking bei 375° steht in sinnvoller Gegensetzung zu der 0,4%igen Reaktion von n-Octenen, welche

- 5 -

X1432

002919

thermisch bei $364 - 369^\circ$ von Regel und Steyra (8) erhalten wurden und zu der Tabelle, die von dem gleichen Autoren bei $435 - 444^\circ$ erhalten wurden. Die Ergebnisse der katalytischen Spaltung bei 375 , 395 und 400° sind in Tab. III zusammenge stellt.

Tabelle III

Katalytische Spaltung von n-Octen.

Oftentemperatur $^\circ\text{C}$	375	395	400
Vora., Dauer 8 Std.	2,43	0,3	0,3
Strömungsgeschwindigk.	4,1	4,2	4,1
Eingesetztes n-Octen g	720	151	148
Satztakthalte Wirkung. %	646	125	117
Wirk. $\{ \begin{matrix} 0,5 + 0,7, & 10-35^\circ \\ 1-\text{C}_8, & 95 - 121,5^\circ \end{matrix}$	10,9	0,3	
vom	50,2	60,2	
Binolene (n-C ₈) $> 121,5^\circ$	20,6	14,7	
(Gew.-% d. Binolene)	0,3	14,4	17,5 ^a
Volumen %	27,0	2,6	11,3
Mol.-Gewicht	20,6	21,1	21,3
Gaseuren $\{ \begin{matrix} \text{H}_2 \\ \text{CH}_4 \end{matrix}$	0,1	0,0	0,0
Prod.	Am-	0,0	0,0
	lyne	0,3 ^b	27,3
	Vol.-%	0,3 ^b	27,3
	(1-C ₄) ₂	2,1	7,7
	n-C ₄	30,6	32,5
	(C ₄) ₂	22,6	22,2
	C ₄ H ₁₀	0,3	0,0
Volumen Gew.-% v. Binol.	1,0	2,1	3,6

- a) Diese Beobachtungen entsprechen einer Anfangsperiode von hoher Aktivität.

Die Zusammensetzung der katalytischen Spaltungsprodukte besteht im obersten Segmente in der von Regel und Steyra bei der thermischen Spaltung erhaltenen. Das bei diesem Prozess

X1433

bei $438 - 444^\circ$ gebildete Gas enthielt über 90 % Propylen und Wasserstoff; das bei der katalytischen Oxydation erhaltenen Gas enthält etwa 90 % Propylen und Butylen und nur kleinere Mengen von leichteren Produkten als C_3 -EW. Die Zusammensetzung des katalytisch erzeugten Gases ist ungewöhnlich, auch wenn man eben gleiche Mengen von n- und t-Butylen vorstellt wird. Dies war besonders richtig bei den Versuchen bei 375 bis 400° , denn Iso-Butylen konnte weniger auf 3 Arten gebildet werden:
1.) Direkte Spaltung von n-Octen zu 2 gesättigten Butylethen und nachherige Isomerisierung des n-Butylethen, 2.) direkte Spaltung von n-Octen in 2 gesättigte C₄-Kohäsle, welche isomerisiert werden, bevor sie in das C₄-Gas umgesetzt werden und 3.) Isomerisation des n-Octens zu Iso-Octen und nachherige Spaltung des Iso-Octens zu Iso-Butylethen.

Methode der Katalysatoren nach mit n-Butylen unter ähnlichen Bedingungen geprüft war, ohne unterschiedliche Mengen von Iso- und n-Butylen zu mildern, undicht die Hypothese 1.) wahrscheinlich. Wir haben beiden direkten Wege an oder gegen die Hypothese 2.) Da Iso-Octen isoliert wurde, ist der Einzelzurtrag, daß die Hypothese 3.) ganz unmöglich wäre. Daher sind wir, obwohl wir die Hypothese 2 nicht ausschließen können, genügt, die Hypothese 3 anzunehmen.

Ein Studium der Beständigkeitssätze der bei 375° erhaltenen Raffineriproducte (Tabelle 1) bestätigt die Zusammensetzung des Octens; über 90% der Octenfraktion besteht aus Propylen, welche tiefer sinken als das Ausgangsmaterial, aber höher als thermische C₄-Gässe. Beim Versuch bei 375° bestand über 75 % der Octenfraktion aus Iso-Octen, wie Tabelle 2 zeigt. Nur bei dieser Arbeit verwendete Katalysatoren war eine solche Isomerisierung als Möglichkeit oder Vermischung mit zu verneinen, welche nach Petrow und Smirnow (9) ein Gemisch von n- und t-Octen unter vergleichbaren Temperaturbedingungen, jedoch mit 10%iger Durchgangsraten in maximal 43 - 47 % Octenfraktion umwandelte.

Um die Beständigkeiten der bei 375° erhaltenen Iso-Octen-Fraktion zu bestimmen, wurde Gas unter $127,3^\circ$ erhaltenes Produkt im Gegensatz von 21 als Katalysator bei 100° und

- 7 -

002021

- 7 -

2143

100 Atm hydriert und das gesättigte Produkt in einem Wasser-
scheiden Kolonne mit 90 Minuten destilliert (10). Die Destillationskurve
ist in Fig. 2 gezeigt. Am dieser Destillationskurve und
den Bezeichnungsindexen der einzelnen Fraktionen werden folgende
IV. als Bestandteile als möglich vorausgesetzt (11).

2,3,4-Trimethylpentan (Siedep. 113,5°) entsprechend
der ersten geraden (113,0 – 113,5°) hat das niedrigste Corde,
welches zwischen 113,5 und 114,0° schlägt, unter Ausbildung
3 Ativwerten (Siedep. 114°), was eine andere Anordnung des
Stoffs aber als wenig wahrscheinlich betrachtet wird.

2-Methylheptan (Siedep. 117,5°) entspricht der
2. geraden (117,0 – 117,5° corr.).

4-Methylheptan (Siedep. 118,0°) und / oder 3,4-Di-
methylhexan (Siedep. 117,5°). Die bei 117,0 – 118,0° (corr.)
siedende Fraktion hat einen Zuvielwertsindex ($\alpha_{D}^{20} = 1,00007$)
welcher zeigt, dass sie wahrscheinlich eine Mischung von
2-Methylheptan ($\alpha_{D}^{20} = 1,00006$) und von einem oder von beiden
obengenannten ($\alpha_{D}^{20} = 1,00005$ bzw. 1,00004). Die zweite mögliche
ger wahrscheinlichkeit 3-Methylhexan (Siedep. 118,0°, $\alpha_{D}^{20} = 1,00004$)
und weniger 3-Methyl-2,3-dimethylpentan (Siedep. 118,0°, $\alpha_{D}^{20} = 1,00003$)
zu enthalten.

3-Methylheptan (Siedep. 118,0 $\alpha_{D}^{20} = 1,00003$), und
bei 118,0 – 118,5° (corr.) eingeschlossene haben einen
Zuvielwertsindex $\alpha_{D}^{20} = 1,00002$, kleiner als die von den anderen Frak-
tionen und die von 118,0 – 118,5° (corr.) siedende Fraktionen
eines Zuviel $\alpha_{D}^{20} = 1,00007$. Da 3-Methylheptan eine Mischung der
obigen Isomeren eingeschlossene Corde mit einem Zuvielwertsindex kleiner
1,00007, müssen beide höheren Brüder Siedep. IV. wahrscheinlich
sein werden.

Zum Zusammenfassenden und dass diese Fraktionen wahrscheinlich
bestehende Isomerenmischungen aus 2-Corsten und 3-Methylheptan,
2-Methylheptan und 3,4-Dimethylhexan, sowie 3-Methyl-2,3-dimethylpentan
davon von Alkylgruppen abhängig sind, ist zu schließen.
Die Isomerenmischungen kann man durch die Zuvielwertsindexe
gewissermaßen um 2- und 3-Methylheptan bestimmen.

N 143

002922

Das Octenprodukt wurde hydriert und in einem iso-Octen-Schmitt, von 70° - 115° (corr.) wiederum fraktioniert. Bis A.S.T.M. Untergrenze dieses Schmittes war 45.5% vom n-Octen (hergestellt durch Hydrierung von n -Octen, welches zu diesem Verzweigen verwendet worden war) war sie in der gleichen Maschine - 20. Weiter ist es sicher, daß das α -Isomer des Octen gewünscht wurde, da in allgemeinem bei einem Paraffin mit gleichem Molchlangewicht eine höhere Octanzahl mit einem weit höheren verzweigten Isomeren verbunden ist.

System - Ergebnisse.

Aus einer Arbeit über thermische Reaktionen mit Octen bei 350 bis 725° zulässigem Druck und Temperatur (12), die bei tieferen Temperaturen elektrolytische Produkte verzeichnete, während bei höheren Temperaturen alkylierliche und isomierende Stoffe im Staudinger-Masse gewünscht wurden. Das Maximum der Bildung eines elektrolytischen Octen (44 - 48% des Gesamtumfangs) trat bei 575 bis 700° , während das Maximum der Isomerisierung im Bereich der zulässigen Drücke bei 450 bis 575° lagte. Hierzu wurde ebenfalls (13) gefunden, daß metallische Katalysatoren die Isomerisierung und dann die Reaktion begünstigen, während diese

Mit dem in dieser Arbeit bewiesenen Druck und Temperatur Octen dem Ziegler der Reaktion bei 300° mit einem Druck und Temperatur von 6 . Die Gleichgewichtskonstante dieser Reaktion war nur $0,07\%$, aber 0% des Produktes (was aus einem weiteren Versuch (14)) entstehen bei 6° unter den gleichen Bedingungen (bei Temperatur). Bei 300° waren etwa $1/3$ der Octen zu isomeren und den gesetzlichen, aber von diesen nicht genannten, niedrigeren Octen (wie 50% von 50° überdrücktem Octen, welche zunächst durch eine thermische oder chemische Katalyse erzeugt wurden, um nach dem Gleichgewicht zu kommen) umgesetzt, wie sie die Menge von 14 und 19 Octen darstellen. Im Vergleich zu 331 wurde die Konzentration der Octen bei 300° wieder vermehrt und die Konzentration der Octen, die für das Gleichgewicht benötigt werden, war so viel Gleichgewicht erreicht. Wenn nun jedoch Octen, die von verschiedenen Polymersen zu zweigen, die mit dem

11436

erzielt werden, und daß dann die Katalysatoren mit den zugehörigen, bestimmt auf die Reaktionen abgestimmten, katalytischen Zusammensetzung eingesetzt werden.

Die bei der Entwicklung der Katalysatoren verwandten Werte sind im Tabelle IV zusammengefaßt.

Tabelle IV.

Katalytische Synthese von Oxyd.

	700	770	700	400	400
Oxidkonzentration %					
Verein. Oxyd.	3,97	4,0	3,97	4,0	4,0
Stromdurchflussgeschwindig.	4,0	4,0	4,0	4,0	4,0
Ringdurchmesser, Oeten m	1,020	2,77	1,020	1,020	1,020
Flüssig.					
PtRh.	10-2000	77,2	10-2000	77,2	10-2000
Gew.-%(O, Zn, Al, Ni, Ti, Fe)	1,0	1,0	1,0	1,0	1,0
Ringdurchm. (O, Pt, Rh, Zn, Ti, Fe, Ni, Al)	1,0	1,0	1,0	1,0	1,0
Reaktionszeit (700) min	150	150	150	150	150
Reaktionszeit (770) min	0,0	0,0	1,1	1,0	1,0
Reaktionsgeschw. Reaktion	0,0	44,0	70,0	97,0	97,0
Oxyd und Reaktion					
Werte	91,0	47,0	9,0	30,0	30,0
(Gew.-% O, Zn, Ti, Fe, Ni, Al)	0,07	0,44	0,0	0,0	0,0
(Mol.-% Cobalt)	0,1	0,1	0,05	0,05	0,05
	0,0	0,0	0,0	0,0	0,0
	0,0	0,0	0,0	0,0	0,0
Oxyd	0,0	0,7	0,0	0,0	0,0
PtRh.	0,0	7,7	0,0	0,0	0,0
NiFe	0,0	7,7	0,0	0,0	0,0
Wolfr.	0,0	23,7	31,0	0,0	0,0
ZnAl	0,0	0,0	0,0	0,0	0,0
Al-Ni	0,0	14,0	0,0	0,0	0,0
Al-Cu	0,0	0,0	0,0	0,0	0,0
Wolfr.-Zn-Al	0,0	2,0	0,0	0,0	0,0

Bei einer Konzentration von 3,97 % Oxyd

M1437

Es soll darauf hingewiesen werden, daß das Verhältnis von niedrigstem Benzodioxin im O_{1,2}-Produkt mit abnehmender Temperatur nicht bis in das Siedekontinuum des O_{1,2}-Vorstocks gewöhnlich kann, oftens mehr zulässig ist.

Um den Verlauf des Rückstandes zu kennzeichnen, werden die höher siedenden Produkte anders als Benzodioxin im Tafel mit umgewandelten Ziffern angeführt. Die Stärke wird so dar, V dargestellt.

Table II.

Verhältnis der Benzodioxine.

Oftentemperatur °C	350	350°	400	450
Spaltung β	0,1	17,0	31,3	31,3
(β ₁)	0,0	0,0	0,0	0,0
(β ₂)	0,0	0,0	0,0	0,0
(β ₃)	0,0	0,0	1,0	0,0
(β ₄)	0,0	0,0	0,0	0,0
(β ₅)	0,0	0,0	0,0	0,0
(β ₆)	0,0	0,0	0,0	0,0
(β ₇)	0,0	0,0	0,0	0,0
(β ₈)	0,0	0,0	0,0	0,0
(β ₉)	0,0	0,0	0,0	0,0
(β ₁₀)	0,0	0,0	0,0	0,0
(β ₁₁)	0,0	0,0	0,0	0,0
(β ₁₂)	0,0	0,0	0,0	0,0
(β ₁₃)	0,0	0,0	0,0	0,0
(β ₁₄)	0,0	0,0	0,0	0,0
(β ₁₅)	0,0	0,0	0,0	0,0
(Gesamt)	100,0	100,0	100,0	100,0

a) ohne Mengenangabe (Benzodioxin); b) genau unter 10,00 g; c) genau über 10,00 g;

~~1143~~ 002925

In den beiden 300°-Reaktoren und die dann bei 400° werden nunmehr 300 Meter Rohr mit einer Länge von 100 Metern zusammengefügt. Die Rohre sind aus Eisenrohren als Röhrenrohrzylinder hergestellt worden und 400° wird dann die Rohre wieder zu 300 Meter zu 30 im Zinnox 2. Rektorat gesetztes. Hier ist festgestellt, dass die Rohre nicht aus Eisenrohren, welche Rohre für das Rohrrohrzylinder sind werden in der 2. Rektorat gesetztes, sondern werden für das zinnox 3. Rektorat eine gewisse Art Eisenrohre haben die Rohre sind eben wie für 300°/72 gesetztes, müssen vorher.

Zinnox 72

Reaktion bei den Zinnox 72 Reaktoren

Zinnox Gesamtreaktor	Reaktion bei den Zinnox 72 Reaktoren			Reaktion bei den Zinnox 72 Reaktoren
	300°	300°/72	400°	
O ₁₆ → N ₁₆ O ₁₆	0,0	0,0	0,0	
O ₁₆ → O ₁₆ O ₁₅	0,0	0,0	0,0	
O ₁₆ → O ₁₆ O ₁₄	2	0,2	2	
O ₁₆ → O ₁₆ O ₁₃	0	0	10	
O ₁₆ → O ₁₆ O ₁₂	20	20	12(17)	
O ₁₆ → O ₁₆ O ₁₁	10	10	17	O ₁₆ → O ₁₆ O ₁₀
O ₁₆ → O ₁₆ O ₁₀	10	10	15(17)	O ₁₆ → O ₁₆ O ₉
O ₁₆ → O ₁₆ O ₉	20	20	0,0	(O ₁₆ → O ₁₆ O ₈)
O ₁₆ → O ₁₆ O ₈	10	10	10(13)	O ₁₆ → O ₁₆ O ₇
				(O ₁₆ → O ₁₆ O ₆)

*) Reaktion bei den Zinnox 72 Reaktoren

Bei den Zinnox 72 Reaktoren werden nunmehr die Rohre wieder zu 300 Meter zusammengefügt. Die Rohre sind aus Eisenrohren als Röhrenrohrzylinder hergestellt und werden wieder zu 300 Meter zu 30 im Zinnox 2. Rektorat gesetztes.

111439

Geben und den niedriger stehenden Benzonen getrennt wurde, zeigt, daß die Produkte, die von Geben abgespalten sind, die gleichen sind, wie die aus den Benzonen und die Produkte die gleichen, daß die Zusammensetzung durch einen Isomerisierungsprozeß eingeschränkt wird.

Die Destillationskurven (enthalten mit einer Benzol-methanol-Lösung mit 1% Zinn) des bei 400° und 450° gewonnenen hydrierten Benzins (Tabelle 5) zeigen bei den gleichen Temperaturen gleichlange Stufen; doch sind die beiden Kurven gesondert bei der 450° Kurve breiter und die Stufen länger. Hierzu, was einer zweiten Gleichung der höher stehenden Produktprodukte entspricht. Diese Veränderung der Form der höher stehenden Kurven ist wahrscheinlich auch für die gefundenen hohen Octanwerte im unverarbeiteten wie im hydrierten Benzin, das bei 450° hergestellt wurde, verantwortlich, wenn man es mit dem 400°-Produkt vergleicht (Tab. IV-IV).

Die großen Teile des Destillationsbereichs und das Vorhandensein von Isopentan (25°), 2-Methylpentan (45°), 2,2-Dimethylbutan (63°), 2,3-Dimethylbutan (80°), die Methylhexane (90 - 95°) und Isobutane auch 2,3-Dimethylbutan (90°), die Methylheptane (117 - 119°), Methyloctane auch 2,3-Dimethylbutan (116°), die Methylnonane (ca. 142°), die Methyldecane (ca. 160 - 165°) oder Dimethylheptane (ca. 170 - 175°) und die Methyldecanen oder Dimethylheptane (ca. 175 - 185°) als die Bruttomolalitäten und die Molalitäten der 450°-Benzine sind in Tab. VII angegeben.

Tabelle VII.

Vergleichende Vergleichungen der im Benzin von Geben und 450° hergestellten Benzinen.

Verbindung	400°		450°	
	Molalität Stoffe	Molalität Stoffe	Molalität Stoffe	Molalität Stoffe
Isopentan	0.0000	0.0000	0.0000	0.0000
2-Methylpentan	0.0000	0.0000	0.0000	0.0000
2,2-Dimethylbutan	0.0000	0.0000	0.0000	0.0000
2,3-Dimethylbutan	0.0000	0.0000	0.0000	0.0000
2-Methylhexane	0.0000	0.0000	0.0000	0.0000
Isobutane	0.0000	0.0000	0.0000	0.0000
2,3-Dimethylbutan	0.0000	0.0000	0.0000	0.0000
Methylhexane	0.0000	0.0000	0.0000	0.0000
Methylheptane	0.0000	0.0000	0.0000	0.0000
Methyloctane	0.0000	0.0000	0.0000	0.0000
Methylnonane	0.0000	0.0000	0.0000	0.0000
Methyldecane	0.0000	0.0000	0.0000	0.0000
Dimethylheptane	0.0000	0.0000	0.0000	0.0000

X 144

Es ist beweisend, daß durch thermisch-analytische Messungen von α -Terpenen im Augenkohlen Produktum das Zentrum weiterhin nur bestätigt, daß beide bei der Zersetzung von Ceten einheitliche Spaltstufen festgestellt sind.

Zu erörtern war (4), daß die thermische Spaltung wesentlich im Aufspaltung zur Doppelbindung stattfindet (diese Reaktion, die im vorliegenden Falle Arbeit aus der Abreissarbeit beweisenderweise keinen gewöhnlichen Produktus, die weniger als 3 C-Atome enthalten, hervorruft) und da weiterhin aus Tab.VII klar hervorgeht, daß die Spaltung zu einem sehr viel geringer C-C-Bindung des Moleküls (z. B. 1,2-Dimethyl- α -und- β -heptadien) stattfindet, kann wir nunmehr, daß Ceten hauptsächlich entsprechend den folgenden zufolge abgespaltenen Stufen thermolytisch zerfallen wird: 1.) Isomerisierung von Ceten zu dieser zuletzt vermerkten thermodynamisch weiter mit einer Zersetzung der Moleküle, 2.) Spaltung der Kette im gleichen Grade an jeder Bindung des Moleküls mit Ausnahme der dem Zentrum zugehörigen, 3.) Isomerisierung von einem normalen Zinsalzen, elektrischen Produkt zu Isocetinen und 4.) bei höherer Temperatur aber bei einem gewissen Temperaturum schichtene Verdampfung des Primärproduktus mit längeren Ketten wie bei den Stufen 2 und 3, so daß die Summe der Produkte mit weniger als 3 C-Atomen vorliegen, während die Mengen mit mehr als 3 C-Atomen bestehen.

Es soll weiter darauf hingewiesen werden, daß andere Mengen von zersetzungsähnlichen Reaktionen möglich werden, und daß auch dann wiederum eine unterschiedliche (aber nicht allein genügende), Additivität, Gegenreaktion oder Auswirkung der Zersetzung vorkommen müssen, um nicht die großen Mengen eines z. B. 1,2-Dimethyl- α -und- β -heptadien die Bildung eines entsprechenden Produktes bewirkt zu einem Teil der elektrischen Produkte zu hydrieren.

Summarum über H-...Ceten.

Eine systematische Arbeit soll neben einer mikroanalytischen Untersuchung über die isotaktische und syndiotaktische Zusammensetzung

von n-Octen (15, 16). In bezug der katalytischen Arbeiten werden feste Oxyde als Katalysatoren verwendet, von den katalytischen Arbeiten ist die von Hogenboom (16) die vollständigste und sie ist unter Beilstein Sammelverzeichnungen, wie die vorliegende Arbeit angeführt, so dass die Resultate vergleichbar sind.

Die katalytische Zersetzung von n-Octen wurde bei 325, 340, 355 und 370° mit einer Platinoxyd-Katalysator-Geschwindigkeit von 4 Volumen 21. Octen pro Vol. Katalysator in der Stunde durchgeführt. Die Ergebnisse sind in Tab.VIII zusammengestellt.

Tabelle VIII.

Katalytische Zersetzung von n-Octen.

Oxidtemperatur °C	325	340	355	370
Volumenänderung Std.	0,3	0,3	0,3	0,3
Geschwindigkeitskonstante.	4,1	4,3	4,2	4,2
Zersetzungstemperatur n-Octen g	144	152	167	167
Katalysatorkonz. g	141	145,4	142	138
(Ges. % des Einsatzes)	1,0	2,7	4,0	5,4
Vol.-% in n. 1.	2,0	2,9	4,1	5,7
Min. Gew.	24,5	36,5	36,5	36,7
	16,3	15,1	12,9	9,0
	24,5 ^a	32,5 ^b	32,5 ^b	32,5 ^b
	20,3	15,0	13,3	12,0
	26,7 ^a	32,4 ^b	30,4	30,5
			16,3	11,0
Vol.-%	2,0	7,3	5,1	6,1
	2,0 ^a		12,4	9,3
	2,0 ^b		3,5	4,7
Volumen Gew.% aus 1000.	0,0	-0,7	-1,0	0,0
a) konzentriertes, b) eingeschränkt n-katalytisch;				
a) konzentriertes, b) 25%.				
a) ohne Gas im Platin, b) 10% gesättigte Gas, welches oben 1 - 2 % von Octen verunreinigt war.				

- 15 -

~~11442~~

Da nur wenig Material angewandt und wenig Säuremenge probiert erzielt wurde, wurde eine vollständige Analyse nur bei dem 570°-Versuch durchgeführt. Die Ergebnisse sind in Tab. XI zusammen mit vergleichbaren, thermischen Analysenwerten, welche aus dem Angaben von Marcellus geschönt wurden, dargestellt.

Tabelle XI.

Analysen- und thermische Daten der Produkte.

	Analysenwerte	thermische Werte
Oftentemperatur °C	570	570
Brenzweigw. des.	1,0	12,7
Spaltung %	11,0	19,4
Moleprodukt pro Mole oxyd. Octan	2,0	3,0
	13	0,3
	12	7
	14	0,6
	15	11
	16	32
	17	46
	18	47
	22	70
	7	7,3
	73	73
	16	21
Vorlaut Gew. % von Dimetho	2,2	0,0
Die Abnahme der Stoff der Spaltung im oben beschriebenen herkömmlichen Differenzverfahren ist als Vergleichsergebnis dargestellt, weil nach Marcellus folgtur, dass die thermische Spaltung die Analysen des Produktes nie stimmt, wenn die Korrektur von 13 auf 11 % vorgenommen wird, und dass sie sich sehr wenig von den bei 530° erhaltenen		

- 15 -

002930

1448

schieden¹⁰, 11 % Cracking erreicht werden. Weiterhin hat die thermische Analyse von Nitrobenz und Benzene (17) eine 1% Cracking bei 375° ohne eine merkbare Verluste an Benzene. Eine 1% Verlustung bei der gleichen Temperatur, führt auf Benzene und im weiteren die gleichen Verluste über einen weiten Temperatur- und Temperaturspannungsabstand.

Aus Tab. II geht hervor, dass die zugehörigen Cracking eines anderen Mengen verhältnis, 1000 und 10000 Mol-% als die beobachteten und ausgewiesenen Cracking für das Benzene. Dieser geht aus den Angaben von Benzene und von Nitrobenz und Benzene hervor, das aus dem weiteren zugehörigen Cracking von 11 % bei 375° ohne Temperaturverlust von 7 bis 8 mol. züglich sein dürften. Der Benzeneverlust ist daher die Reaktionsszeit auf 77 oder 40. Es darf nunmehr hervorgehoben werden, dass die zweite so viel schwächer reagiert wie die erste, dass bei 375° zweimal so viel geschrackt war wie zu 60°C bei der gleichen Benzeneausgangs.

Reaktion - Struktur.

Die thermische (12, 13) und die katalytische (19) Cracking von Gelen wurde von Gmelin und Hünig¹⁴ untersucht, welche feststellten, dass in Abhängigkeit des Benzenegehalts die Kohlenstoffzersetzung eine Unstetigkeit am Temperaturbereich von 300°C aufweist, die sich mit steigendem Benzenegehalt verschoben wurde, dass sich aber mit steigendem Benzenegehalt der Punkt der Zersetzung des Benzene verschoben hat, der durch den von Gmelin und Hünig¹⁴ als Reaktionstemperatur der Benzenezersetzung bezeichnet wurde. Diese Temperatur ist in einem Bereich von 300°C bis 350°C gelegen, und zwar kann sie durch Anheben des Benzenegehalts verschoben werden, was die Zersetzungstemperatur von der durch Zusatz eines heterogenen Katalysators von Gelen oder Benzene bestimmt wird, und zwar kann sie durch Anheben des Benzenegehalts verschoben werden, was die Zersetzungstemperatur der Benzenezersetzung bestimmt, die C-C-Zersetzung liegt bei 300°C, wo der katalytische Benzenegehalt mit der konzentrierten Arbeit nicht vereinbar ist.

Zu diesem Arbeit¹⁵ wurde Gelen

N1444

mit einer Plättigkeitstestmethode bestimmt und das so gewonnen. Vom derselben Bezeichnung und aus demselben hergestellten Stange Getest wurde das aus dem ersten Durchgang zurückgewonnene Getest (das im Originalstaubkasten verblieb) wiedergeschleift und das vom zweiten Durchgang wiederum wiedergeschleift. Die hierauf folgenden Plättigungen des dritten Durchgangs wurden verdünnt und bearbeitet, bis sie waren getrennt analysiert, zeigten jedoch die gleichen Zahlen, die gleiche Zusammensetzung. Die ausgewählten Beobachtungen sind in Tab. I und II gesetzt.

Zahltafel I.

Zusammensetzung des Produktes von Getest bei 200°.

Staub 0,4,	0,74
Staubzusammensetzung cc/cc. Katalyse.	4,0
Getest-Getest-Mischung	5,00
71Gedämpftes > 10° Gew.-% d. Katal.	49,5
Benzin 10 - 200° "	4,0
Zeolith-Katalysator 200° (750)-144° (13 mm)	3,0
Getest 144 - 147° (13 mm)	7,00
Staubzus.	1,0
Getest-Produkt	
Gew.-% von Katalys.	11,1
W.L. n 2	2,7
W.L. Gew.	0,0
Vorläufer Gew.-% von Katalys.	0,4

1445

Tabelle II.

Produkte der Oxydationsstufen.

Produkt	Vol.-%	Werte pro 100 Moli. oxydiertem Sauerstoff
H ₂	1,5)	2,7
CH ₄	1,7	4,2
C ₂ H ₄	1,0	2,6
C ₂ H ₆	2,0	4,9
C ₃ H ₆	32,0	80
C ₃ H ₈	12,5	31
1-C ₄ H ₈	11,5	28
2-C ₄ H ₈	21,0	51
C ₄ H ₁₀	16,0	39
C ₅	4,0	11
C ₆	2,0	5,5
C ₇	1,1	2,3
C ₈ -C ₁₂	1,9	11,4
C ₁₃ -C ₁₉		12,5

a) wahrgenommene Mol.Gew. 130

b) " " " 156

Auss den Tabelle II. sind nun die Werte der verschiedenen Gitter ausreichend groß, um eine Aussage über die Stabilität des Produktes zu treffen. Das ist aber nicht der Fall, da die Produkte mit einem Bruttozusatz von 10% oxydiert sind und es kann nicht bestimmt werden, ob diese Ziffer korrekt war. Da das tatsächliche Bruttozusatz 10% ausreichend ist, um die Werte der Tabelle I zu erhalten, gibt es keinen Grund, die Werte der Tabelle II. zu korrigieren. Es ist jedoch zu beachten, dass die Werte der Tabelle II. nur für die Menge von C₁- und C₂-Produkten gültig sind, die bei einer Temperatur von 100°C erzeugt wurden. In dieser Beziehung unterscheiden sich diese Werte von denen von Saito (12, 13) bei der Herstellung von C₁- und C₂-Produkten zu dem Ergebnis, dass die Werte der Tabelle

A 1002033

Setzung ein Abbrechen der ungesättigten Gruppen unter Bildung von Methan und Ethylen sei. Gleichzeitig erwies Vergleich mit der Arbeit von Gortz wegen der Unvollständigkeit anderer Arbeiten nicht möglich sind, schien es, daß bei den im Zerren und gefüllten Rohren durchgeführten Versuchen höhere Ausbeutungen und längere Reaktionszeiten benötigt werden, um das in unserer Experimenten gefundenen Ende der Setzung zu erreichen.

Das Übergewicht von kleinen Molekülen in der vorliegenden Arbeit und die analytischen Daten erlauben, daß weder die primären Reaktionsprodukte einfacher bestimmt sind als das Gelen selbst, und daß sie um 75 - 100 % in sekundäre Produkte im Vergleich mit der 70%igen Ausbeute von Gelen umgewandelt werden, oder daß das Gelen-Molekül an mehreren Stellen gleichzeitig verarbeitet wird.

Die größte Beständigkeit von n-Gelen im Vergleich gegen Gelen geht aus seiner 70%igen Ausbeute mit dem gleichen Katalysator, der gleichen Reaktionstemperatur und bei einer um 70° höheren Temperatur (670°) als die nur die 70%ige Setzung von Gelen benötigt wird.

Das hydrierte Densin der Gelen-Setzung hat eine A.S.T.M. Gelenzahl von 70. Die Destillation des hydrierten Produktes in einer Dampfturbine-Kolonne mit 17 Theken und 20 Böden gab eine in Fig.3 gesetzte Aufzeichnung, welche die Anreicherung von Isopenten (mindest. 90%), 2,2-Dimethylpenten (mindest. 90%), Isobuten (mindest. 90%) und 2,4-Dimethylpenten (mindest. 90%) und Dimethylpenten (mindest. 90%) und 2,3-Dimethylpenten (mindest. 90%) zeigt. Diese n-Hydroxy-Gelen verarbeiten sich sehr gut und erfordern keinen Mengen Überschuß sondern können vollständig abgespalten und nicht bestimmt werden. Insomma, Zeichnung 3 zeigt, daß es zu größeren Mengen als die entsprechenden Produkte kommt.

002931

X144

Technische Berichte.

Materialien.

Zuerst wurde durch Verdampfen von 60 Literen über aktivierte Kieselgur getrocknet, eine Gasflasche mit Destillationsreiniger zugetragen und alle Produkte aus dem C₃ KW 0,3 1-Butenylam 19,2, 2-Butenylam 53,9 C₄ und Butanol 27 0,6. Eine kleine Menge 1-Butenylam und etwas Butanol waren ebenfalls gewesen. Das C₄-Produkt und das Butanol wurden 20 Minuten 1,5% und das 0,7% aufgekocht und dann abgezogen.

Dann wurde eine weitere Verdampfung über aktivierte Kieselgur und über Gasflasche mit Destillationsreiniger durchgeführt. Die Konzentration wurde von einem Probenkolben aus (10 ml) abgenommen und getrocknet und über MW in einer Tropfenzähler (10) abgelesen und 50 ml des destilliert. Die in dieser Anzahl verbleibenden Produkte von 20 - 31° und hatte einen Siedekontakt von 20° und im Überwärmerdampf mit dem Zitronensäure und 1,02771 (10). Nach der Hydrierung von den Produkten aus dem Tropfenzähler im Überwärmerdampf mit dem Zitronensäure und 1,02771 (10) und 1,02770. Diese hydrierten mit dem Zitronensäure und 1,02770 weiter und die Produkte von 18,975 Siedekontakt und ein Minimum von 0,7/23 2 erreichten.

Zuletzt wurde eine weitere Verdampfung über Gasflasche und über C₄-Produkt. Diese wurde wiederum über Gasflasche und über C₄-Produkt abgezogen. Das Produkt aus dem Tropfenzähler und das aus dem Überwärmerdampf und 1,02770 und 1,02771 (10) waren gleich. Es war ein Minimum von 17,1° und 1,02770 und 1,02771 (10). Das Produkt aus dem Tropfenzähler und das aus dem Überwärmerdampf und 1,02770 und 1,02771 (10) waren gleich. Das Produkt aus dem Tropfenzähler und das aus dem Überwärmerdampf und 1,02770 und 1,02771 (10) waren gleich.

1448

- 21 -

Das n-Octan wurde durch Hydrierung des mit der Hempel-Moleme gewonnenen Schmelzes von n-Octen erzeugt und hatte einen Brechungsindex $n_{D}^{20} = 1,3978$ im Vergleichsbrenner mit dem Literaturwert $n_{D}^{20} = 1,3980$ (11). Der Schmelzpunkt war -56° .

Getran. Bayport Diesel Standard Getan wurde ohne jede weitere Reinigung verwendet.

Getran. Bayport Octan (Techn.) wurde im Vakuum in einem Claisen-Kolben mit einem 8 Rolli (15 cm) Vierpassrohrkühler destilliert und die bei $148 - 151^{\circ}$ bei 7 mm ($\delta_{40}^{20} = 0,7770$) siedende Fraktion wurde für diese Arbeit verwendet. 13,5 % tiefer siedende und 12 % höher siedende Anteile wurden verworfen. Alle Analysen des Vakuumdestillates wurden im Claisen-Claisen-Kolben wie oben beschrieben ausgeführt.

Zinkoxydchlorid-Arbeit: Das Zinkoxyd wurde mit einer Kupfersalzylwasser (22) in einem elektrisch geheizten Vorwärmer aus rostfreiem Stahl in Hufeisenform bei einer Temperatur von 200° abgepumpt, so daß der entstehende Dampf die Reaktionsflasche hatte und von da in einen 100cm großen Reaktionsraum aus rostfreiem Stahl, welcher mit 6 - 10 mm zähem grauem Zinkoxydkörnern in einer Länge von 15 cm gefüllt war. Überall das Kontaktrohr in einem elektrisch geheizten Abschlußrohrblock gehalten wurde, der auf eine 2° höhere Temperatur als der gehalten wurde, schwante die totale Abreißtemperatur zu unterschreiten (die mit einem beweglichen Heizelement, einem festen Element gespannt wurde) der Reaktionsraum und der Kontaktrohr war die Reaktion im Vorwärmer mit dem Zinkoxyd endet, und es entstand ein Temperaturgradient von 200° zwischen dem Oxyd und dem letzten Teil des Kontaktrohrs. Bei dem Reaktionsvorgang war im ersten Block der Kontaktrohr ein Temperaturgradient zu bestehen und während der Reaktion folgte, so daß, zwischen den Oxyd und dem Kontaktrohr ein totale Abreißtemperatur am Reaktionsraum erreicht wurde und die 370° schmolzen. Auch in den Reaktionsraum wurde ein Temperaturgradient beobachtet. Da dieses unerwünscht und unerwünschtes Schmelzen zu erklären, wurde eine Reihe von Hypothesen erzeugt, aber keine von ihnen war überzeugend.

N 1449

Die Reaktionsprodukte wurden durch einen Wasser-
kühler geleitet und durch einen senkrechten Rückflusskühler
mit Eis, der auf einem Sammelgefäß für das Flüssigprodukt
aufgesetzt war. Die Gase wurden mittels einer kombinierten
Tieftemperatur-Destillation und Absorptionsanalyse untersucht.
Bei der Butylen-Analyse wurde für die Absorption von iso-
Butylen 63%ige Schwefelsäure und für die Absorption von
n-Butylen 87%ige Schwefelsäure benutzt. Der kondensierbare
Teil der Gase wurde in einer Trekanone-Trichlor-athylen-
Valle gesammelt und die C₅ und höher siedenden HV. mit der
früher beschriebenen (21) Kolonne durch Tieftemperatur-
Destillation festgestellt. Das im Flüssigprodukt gelöste Gas
wurde in der gleichen Kolonne abgetrennt und gesondert ana-
lysiert, obgleich in manchen Fällen eine gewichtsmäßig
zusammengesetzte Probe von allen gasförmigen Produkten ana-
lysiert worden war. Für die Bestimmung von Butadien (22)
wurde die Absorption in Maleinsäure benutzt.

01450

002937

Akkumulationsreaktionen

Eine Anzahl von Kohlenwasserstoffen, die bei atmosphärischen Druck im Gegenwart von aktiviertem Aluminium-Silica-Katalysator gebrannt wurden, zeigte folgendes Verhalten:

- 1.) Eine Mischung von 1 u. 2 n-Butylen wurde im Temperaturbereich zwischen 305 und 400° weitgehend isomerisiert, wobei gleichzeitig Polymerisation und Cracking eintraten. Zwischen 450 und 600° war der iso-Butylengehalt der den Ofen verlassenden C₄-Fraktion $24.1 \pm 1.5\%$.
- 2.) Das n-Pentylen zeigte Reaktionen ähnlich denen des Butylen bei Ausbauten von 50 % iso-Pentylein bei 400°.
- 3.) Eine Mischung von n-Octenen erlitt sowohl katalytische Isomerisierung zu iso-Octen als auch katalytische Spaltung zu gasförmigen Produkten, die hauptsächlich aus gleichen Mengen n- und iso-Octylen bestanden. Die Resultate sind mit der Annahme im Übereinstimmung, dass vor der Cracking eine Isomerisierung vorliegt. Im Temperaturbereich von 375 - 400° erreichte man 50 % Isomerisierung.
- 4.) Die Primärreaktion beim Octen im Bereich von 300 - 400° war eine Isomerisierung zu iso-Octen-Diolen. Die Folgereaktion war eine Cracking zu niedrigeren aliphatischen Fünffßen, begleitet von einer Isomerisierung des isomerenischen Produktes zu iso-Clefinen. Das iso-Octen-Diolein wurde katalytisch etwa 3 mal so schnell gebrannt wie das Octen selber.
- 5.) n-Octen wurde katalytisch etwa 7 - 8 mal schneller gespalten als thermisch. Die katalytischen Spaltprodukte enthielten mehr C₂ bis C₄-Kohlenwasserstoffe und weniger Methan, Ethan und Propan als die thermischen Spalt-

11461
X1459

produkte. Die Temperatur für die katalytische Spaltung des Cetans war ca. 200° höher als die für die Spaltung des Octans erforderliche.

- 6.) Cetan wurde katalytisch hauptsächlich zu C₃, C₄ und C₅-Kohlenwasserstoffen aufgespalten. Die Crackingprodukte im Siedebereich des Benzinns enthielten sowohl verzweigte als auch geradkettige Kohlenwasserstoffe im Segmente zu den Produkten der Cetanspaltung, die im wesentlichen alle verzweigt waren.

Obwohl das Verhalten beim thermischen Cracking von Cetan und Octan ganz ähnlich ist, ist Cetan doch wesentlich stabiler gegen das katalytische Cracking als Octan. In beiden Fällen sind die Spaltprodukte der katalytischen Cracking ganz verschieden von denen der thermischen Cracking.

LITERATUR.

- (1) Bogoff and Bloch, Proc. Second World Petroleum Congr., Paris, 2 (II), 461 (1937).
- (2) Prost, Rudnitskii and Serelyukova, Osnovaniia, metod. i ucheb. U.S.S.R. (U.S.S.R.) 4, 373 (1936); Serelyukova und Prost, J. Gen. Chem. (U.S.S.R.) 7, 122 (1937).
- (3) N.V. Nederlandse Petroleum Maatschappij, French Patent 623, 545, Jan. 21, 1938.
- (4) Hurd, Ind. Eng. Chem., 26, 51 (1934).
- (5) Hurd, Goodyear and Goldsby, This Journal, 50, 233 (1934).
- (6) Morris and Ranta, This Journal, 49, 2626 (1927).
- (7) Wenn zum 12,5 % Inspektionen, die im Ausgangsmaterial vorhanden sind waren, abgezählt; vgl. experimenteller Teil.
- (8) Hugel und Saayna, Ann. combustibles liquides 1, 787 (1926).

002939

K1452

- 25 -

- (9) Petrov and Cheltsova, Compt. rend. Acad. sci. U.R.S.S., 79 (1937).
- (10) Braun, Ind. Eng. Chem., Anal. Ed., 6, 224 (1934).
- (11) Grosse and Egloff, "Physical Constants of Paraffin Hydrocarbons," published by Universal Oil Products Co., Chicago, Ill., 1938.
- (12) Gault and Altchidjian, Compt. rend., 178, 2092 (1924); Ann. chim., (10) 2, 209 (1924); Gault, Hessel and Altchidjian, Compt. rend., 178, 1562 (1924).
- (13) Hugel and Goldthorpe, Ann. combustibles liquides, 3, 613 (1928).
- (14) Tongberg, Quiggle and Fenster, Ind. Eng. Chem., 26, 1212 (1934).
- (15) Egloff, "Reactions of Pure Hydrocarbons", Reinhold Publishing Co., New York, 1937.
- (16) Marschner, Ind. Eng. Chem., 30, (1938).
- (17) Dintenfass and Zherko, J. Gen. Chem. (U.S.S.R.), 6, 68 (1936).
- (18) Gault and Barmann, Ann. combustibles liquides, 1, 77 (1926); Gault and Hessel, Compt. rend., 179, 171 (1924); Ann. chim. (10) 2, 319 (1924).
- (19) Gault and Sigwalt, Ann. combustibles liquides, 2, 309, 343 (1927).
- (20) Leendertse, Tulleners and Waterman, Rec. trav. chim., 53, 713 (1934).
- (21) Thomas, Bloch and Hoekstra, Ind. Eng. Chem., Anal. Ed., 10, 153 (1938).
- (22) Tropsch and Metzger, Ind. Eng. Chem., 26, 1938 (1934).
- (23) Tropsch and Metzger, Ind. Eng. Chem., Anal. Ed., 6, 104 (1934).

Durchschrift

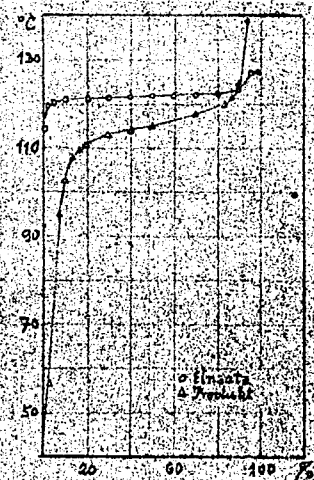
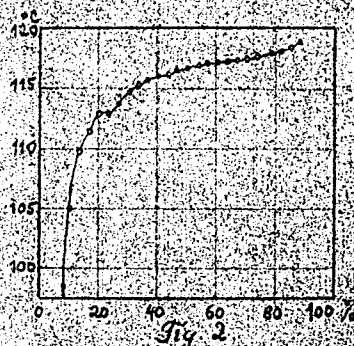
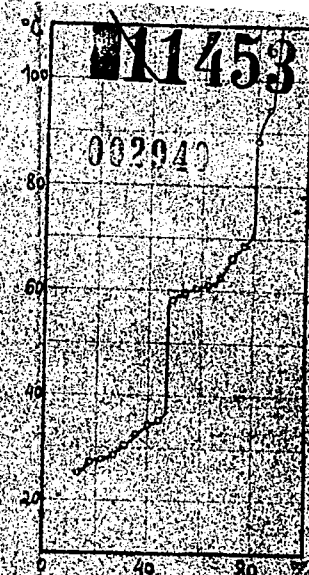


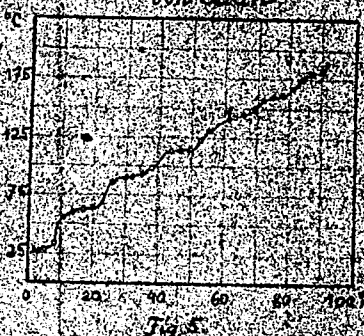
Fig. 1
Katal. Spaltung v. 1- u. 2-Oelen
bei 385°C



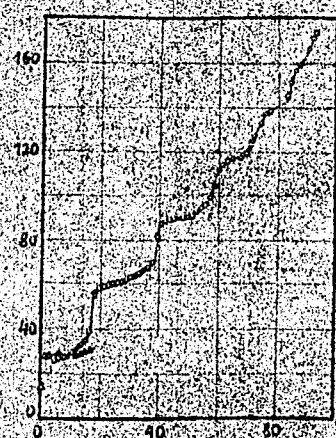
Hydrotreated Isooctene aus 1- u. 2-Oelen
bei 375°C



Hydrogen aus der katal. Cracking
von Octen



Hydrogen aus der katal. Cracking von Octen bei 400°



Hydrotreated Paraffin aus der
katal. Cracking von Octen
bei 450°

Indchemie Aktiengesellschaft
Oberhausen-Holten
Abt.HL - Stpf/Mm.

26. Februar 1940.

002941

VI 1454

Übersetzung
ans Journal of the american chemical Society
61 3571 - 3580 (1939).

Die Katalytische Crackung von aliphatischen
Kohlenwasserstoffen.

Von G.Egloff, J.C.Morrell, Ch.L.Thomas und
H.S.Bloch.

Die thermische Zersetzung von langkettigen aliphatischen KW. ist durch nicht selektive Kettensspaltung, die vom Gesichtspunkt der Nutzlichkeit nicht wünschenswert ist, charakterisiert; es wurden daher in einer kleinen systematischen Arbeit Katalysatoren entwickelt, welche eine selektive Kettensspaltung bewirken. Ein Rückblick auf das Arbeitsgebiet führte zur Ansicht, daß schwer reduzierbare feste Oxyde die wirksamsten Katalysatoren für die Spaltung der C-C-Bindung sind. In der folgenden Arbeit wurde die Wirkung eines aktiven Al-Silikates auf die Reaktionen von n-Butylen, n-Pentylen, n-Octen, Ceten, n-Octan und Cetan unter Bedingungen studiert, welche einen Vergleich 1.) zwischen katalysierten und nicht katalysierten Reaktionen, einen Vergleich 2.) der Crackung von Paraffinen und Olefinen der gleichen Kettenlänge und 3.) der Homologen in den Paraffin- und Olefinreihen gestatten.

Reaktion von n-Butylen. Über die Isomerisierung einer Mischung von n-Butylenen zu Isobutylen in Gegenwart von Katalysatoren, welche Phosphorsäure auf verschiedenen Trägern enthält, wurde berichtet (2)(3). Frost und Mitarbeiter fanden, daß die reversible Isomerisierung von 1- und 2-Butylen der Gleichgewichtsgleichung

$$\log K_p = \frac{104}{T} 0.528 \pm 0.020$$

folgt. Bei 300° enthielt die Gleichgewichtsmischung gleiche Mengen von gerad- und verzweigkettigen Butylenen.

- 2 -

E11453

In unseren Versuchen wurden die n-Butylene über dem Katalysator bei Temperaturen von 365 bis 600° geleitet. Die Resultate sind in Tabelle I zusammengestellt.

Tabelle I

Isomerisierung von n-Butylen.

	365	400	450	500	550	600	600	
Orientemp. °C	0,75	2	2	2	2	2	0,5	
Vers. Dauer Std.	525	200	230	230	225	205	1100	
Ström.-Geschw. (Gas)	{ Höhensiedend. Prod.	14	20,2	24,3	20,3	14,4	6,9	12,7
	{ Gas	86	79,8	75,7	79,5	85,6	91,1	87,3
Gew.-% leichte Gase (C ₃ u. kleinere)	2,8	7,2	13,1	17,1	21,0	31,4	15,7	
{ Isobutyle	8,0	11,6	14,1	15,9	15,0	14,2	17,1	
C ₄ -Fraktion, % Isobutyle	9,6	16,1	22,6	25,6	23,3	23,8	23,8	
Verh. Isobutyle/n-Butylen	0,11	0,20	0,33	0,40	0,37	0,38	0,34	
{ H ₂	0,0	0,5	0,0	0,0	4,9	17,5	1,3	
{ CH ₄	0,0	0,3	0,0	0,0	8,7	18,5	3,1	
Gas { C ₂ H ₄	0,0	0,0	0,0	0,1	2,2	2,8	0,4	
Ans- lyse { C ₃ H ₆	0,0	0,0	0,0	1,1	2,1	3,4	1,5	
Vol.-% { C ₃ H ₆	3,5	10,4	17,9	22,6	18,7	14,8	17,3	
{ C ₃ H ₈	0,7	1,0	3,9	3,3	1,7	2,5	1,3	
{ 1 C ₄ H ₆	9,2	14,1	17,7	18,7	14,4	9,8	17,5	
{ m C ₄ H ₆	55,6	69,4	53,0	46,3	38,9	25,7	52,9	
{ o C ₄ H ₆	6,6	0,2	0,4	0,3	0,3	0,9	0,9	
{ C ₄ H ₁₀	1,0	3,7	7,3	7,4	8,2	3,6	3,0	

Angenommen wird unter den angewandten Bedingungen die Isomerisierung zu Isobutylen von einer bestimmten Polymerisation zu höhensiedenden Produkten und einem Zerlegung zu leichteren Gasen begleitet. Die Ausbeute an flüssigprodukten erreichte bei 450° ein Maximum von ungefähr 25 % (bei einer Strömungsgeschwindigkeit von 200 - 230 Vol. Gas pro Vol. Katalysator in der Stunde). Die Ausbeute an leichten Gasen stieg gleichmäßig mit dem Steigen der Temperatur, sank aber scharf mit dem Steigen der Strömungsgeschwindigkeit.

- 3 -

digkeit.

Bei einer Strömungsgeschwindigkeit von 200 - 230 war die Isomerisierung in einem Bereich von 450 - 600° nicht temperaturempfindlich. Die C₄-Fraktion des Produktes enthielt 24,1 ± 1,5 % Isobutylein. Die Gesamtisobutylennausbeute jedoch war bei einer Steigerung der Strömungsgeschwindigkeit bei 600° höher, da die Nebenreaktionen unterbrochen wurden, während der Isobutylenein gehalt des C₄-Produktes unverändert blieb. Die Tatsache, daß ein 9,7-faches Ansteigen der Strömungsgeschwindigkeit keine Änderung im Isobutylenein gehalt hervorruft, weist auf das Erreichen eines Pseudo-Gleichgewichtes hin; daß das wahre Gleichgewicht nicht erreicht wurde, wird durch das Verhältnis Isobutylein : n-Butylein, welches maximal 0,40 überschritt, angezeigt, obgleich entsprechend der Gleichung von Frost und Mitarbeitern (2) das Gleichgewichtsverhältnis zwischen 1,0 bei 300° und 0,66 bei 600° liegt.

Reaktionen von n-Pentylein. Das Studium über die katalytische Isomerisation wurde auf das nächsthöhere Homologe, das n-Pentylein ausgedehnt. Obwohl über die thermische Isomerisierung von 1-, und 2-Pentylein berichtet worden war (4), wurde die Arbeit von gleichen Autoren (5) in einer späteren Veröffentlichung nicht bestätigt; so daß kein unverkennbarer Nachweis einer solchen Isomerisierung weder einer thermischen noch einer katalytischen veröffentlicht wurde. Die "Bruttouren-Isomerisierung" wurde jedoch erdiglich festgestellt (4,5).

n-Pentene, welche durch katalytische Polymerisierung von n-Amyleinkohol hergestellt worden waren, wurden bei 400° über den erwähnten Katalysator geleitet. Die Ergebnisse sind in Tabelle II gesetzt.

Tabelle II

Katalytische Zersetzung von n-Pentenen.^{a)}

Ofentemperatur °C	400
Vers.Dauer Std.	0,75
Strömungsgeschwind.	3,2
Eingesetztes Penten g	150
(das < 15°)	7,6
Prod.	71,7
Gew.% C ₅ 15 - 45°	7,7
vom C ₆ 45 - 72°	3,0
Ein-	3,1
satz C ₇ -C ₉ 72-150°	4,1
C ₁₀ u. Rückstand > 150°	4
Verluste	3
(H ₂)	5
Gas-	34
ens-	28
lyse	26
in	(C = 2,21)
Vol.% n-C ₄ H ₈	
n-C ₄ H ₈	
(n H _{2n+2})	

^{a)} enthält maximal 12,5 % Isopenten.

Das Destillat der C₅-Fraktion wurde danach über einen Ni-Katalysator bei 100° hydriert. Es enthielt 62 % Isopenten und 18 % n-Penten. Die Umwandlung von n-Penten in Methylbutylen betrug daher 53 % (7). Gleichzeitig wurden noch etwa 8 % Gas und 17 % höher als Pentylbenzene Produkte gebildet. Da das Molverhältnis von C₄ : C₅ der wieder erhaltenen KW ungefähr 1,2 betrug, scheint wahrscheinlich der größere Teil dieser KW durch Zersetzung von dimeren Pentylethen gebildet worden zu sein.

Reaktionen von n-Octen. n-Octen (durch katal. Dehydrierung von Octanol-2 gewonnen) wird beim Überleiten über den Katalysator nicht nur isomerisiert, sondern auch zerlegt. Die 20%ige Zersetzung bei 373° steht in auffallendem Gegensatz zu der 0,4%igen Reaktion von n-Octen, welche

11458

- 5 -

thermisch bei $364 - 365^{\circ}$ von Regel und Sonnay (8) erhalten wurden und zu der 7%igen, die von den gleichen Autoren bei $438 - 444^{\circ}$ erhalten wurden. Die Ergebnisse der katalytischen Spaltung bei 375 , 385 und 400° sind in Tab. III zusammenge stellt.

Tab. III

Katalytische Spaltung von n-Octanen.

	375	385	400	
Öffnungsgeräte °C				
Vers. Dauer 600.	2,43	0,3	0,5	
Strömungsgeschwindigk.	4,1	4,2	4,1	
Ringenzähne n-Octan g	720	131	148	
Startzähne 712 zähne g	646	125	117	
712 zähne. (0,300, 10,7, 10-35°)	10,9	0,3		
Prod. d. 5,1 (n-Oct 95 - 121,5°)	50,2	50,3		
vom				
Rinante (n-Oct 121,5°)	20,6	14,7		
(0,300, 5 d. Rinante)	0,3	14,4 ^a	17,5 ^a	
Volumen n.l	27,0	9,6	11,3	
Mol. Gewicht	50,6	31,3	31,3	
Gasform	0,1	0,0	0,0	
Prod. Am-	0,0	0,0	0,0	
1,400	0,3	25,7	27,3	32,0
Volum.	0,3	2,1	1,7	1,3
(1-Oct 2,	30,6	32,3	37,0	
n-Oct 2,	22,4	22,3	22,3	
(Oct 10	0,3	0,0	0,0	
Verluste Gew./% v. Kino.	1,0	2,1	3,4	

a) Diese Gebildungen entsprechen einer Auszersetzung von hoher Aktivität.

Die Zusammensetzung der katalytisch erhaltenden Gase steht im schiefen Gegenstand zu der von Regel und Sonnay und der thermischen Cracking erhaltenen. Das hat diese Verhältnisse

~~11459~~

bei 430 - 444° gebildete Gas enthielt über 90 % Paraffine und Wasserstoff; das bei der katalytischen Oxydation erhaltenen Gas enthielt etwa 90 % Propylen und Butylen und nur kleine Mengen von leichteren Produkten als C₃-Kl. Die Kompositionierung des katalytisch erzeugten Gases ist ungewöhnlich, auch wenn nur etwa gleiche Mengen von n- und t-Butylen vorhanden sind. Diese war bestimmt richtig bei den Versuchen bei 355 bis 400°. Das Iso-Butylen konnte wenigstens auf 3 Arten gebildet werden:
1.) Direkte Spaltung von n-Octen zu 2 geradkettigen Butylethen und nachherige Isomerisierung der n-Butylethen, z.B.) direkte Spaltung von n-Octen in 2 geradkettige C₄-Radikale, welche isomerasiert werden, bevor sie in das Ölklar umgesetzt werden und 3.) Isomerisation der n-Octene zu Iso-Octenen und nachherige Spaltung des Iso-Octens zu Iso-Butylen.

Nachdem der Katalysator auch mit n-Butylen unter ähnlichen Bedingungen geprüft war, ohne entsprechende Mengen von Iso- und n-Butylen zu bilden, schied die Hypothese 1.) unwahrscheinlich. Wir haben keinen direkten Beweis für oder gegen die Hypothese 2.) Da Iso-Octene isoliert wurden, ist der Zweifel gering, daß die Hypothese 3.) ganz unwahrscheinlich wäre. Daher sind wir, obwohl wir die Hypothese 2 nicht ausschließen können, geneigt, die Hypothese 3 vorzunehmen.

Ein Studium der Destillationskurve der bei 355° erhaltenen Flüssigprodukte (Fig. 1) bestätigt die Isomerisation der Octene; etwa 40% der Octenfraktion besteht aus Iso-Octenen, welche tiefer stehen als das Ausgangsprodukt, aber höher als irgendwelche C₄-Ölefine. Beim Versuch bei 375° bestanden etwa 75% der Octenfraktion aus Iso-Octen, wie Tab. III zeigt. Nur bei dieser Arbeit verwendete Katalysatoren von wirklicher Isomerasierfähigkeit einer Phenylgruppe auf Zinkoxyd, welche nach Petrow und Smirnow (9) ein Gemisch von t- und 2-Octen unter vergleichbaren Temperaturbedingungen gleich mit 10%iger Differenzzeit im Bereich 43 - 67% Iso-Octen umwandelte.

Um die Bestandteile der bei 375° erhaltenen Iso-Octen-Fraktion zu bestimmen, wurde das unter 121,5° erhaltene Produkt im Gegensatz von 81 als Katalysator bei 100° und

11460

002947

100 Atm hydriert und das gesättigte Produkt in einer Braunschen Kolonne mit 50 mm² destilliert (10). Die Destillationskurve ist in Fig. 2 gezeigt. Aus dieser Destillationskurve und den Zuschlagsindizes der einzelnen Fraktionen waren folgende IV. als Bestandteile als möglich vermutet worden (11).

2,2,4-Trimethylpentan (Siedep. 113,0°) entsprach der ersten geraden (113,0 - 113,5°) und der einzigen Ostein, welches zwischen 111,5 und 114,0° siedet, unter 2-Methyl-3-Isopropylpentan (Siedep. 114°), was eine andere Möglichkeit darstellt aber als wenig wahrscheinlich betrachtet wird.

2-Methylheptan (Siedep. 117,2°) entspricht der 2. geraden (117,0 - 117,1° corr.).

4-Methylheptan (Siedep. 118,0°) und / oder 2,4-Dimethylhexan (Siedep. 117,5°). Die bei 117,0 - 118,0° (corr.) siedende Fraktion hat einen Zuschlagsindex ($\mu_D^{20} = 1,3937$) welcher erlaubt, daß sie wahrscheinlich eine Mischung von 2-Methylheptan ($\mu_D^{20} = 1,3936$) und von einem oder von beiden obengenannten war ($\mu_D^{20} = 1,3935$ bzw. 1,3944). Sie enthielt wiederum wahrscheinlich 3. Isopropylhexan (Siedep. 118,0°, $\mu_D^{20} = 1,3944$) und möglicher 3-Methyl-3-Isopropylpentan (Siedep. 118,1°, $\mu_D^{20} = 1,3947$) zu enthalten.

3-Methylheptan (Siedep. 119,0, $\mu_D^{20} = 1,3939$), die bei 118,0 - 119,0° (corr.) siedende Fraktion hatte einen Zuschlagsindex $\mu_D^{20} = 1,3932$, dagegen als die wahrscheinlichste Fraktion und die von 118,0 - 119,0° (corr.) siedende Fraktion mit einem Index $\mu_D^{20} = 1,3937$. Da 3-Methylheptan dem einzigen in diesem Bereich siedenden Ostein mit einem Zuschlagsindex unter 1,0 ist, müssen beständige Mengen dieser IV. vorhanden gewesen sein.

Das Gesamtbild zeigt, daß der katalytische Zersetzungsvorgang Isomerisierung des n-Octans zu Isopropyloctan, Isopropylbenzene und Isopropylpentanen, weiterhin zu Isopropylbenzenen vom Alkylierungs- oder vom Propoxidationsweg bestand. Die iso-Octane reagierten dann weiter zur Isomerisierung und Isopropylierung grundsätzlich zu n- und 1-Octanen zu Isopropyloctan und zur Pentanen.

111461

002948

Das Cetenyprodukt wurde hydriert und in einem Iso-Octan-Schnitt, von 106 - 119° (vorr.) siedend, fraktioniert. Die A.S.T.M.-Octanzahl dieses Schnittes war 49,9; von n-Octen (hergestellt durch Hydrierung von n-Octen, welches zu diesem Versuchsanfang verwendet worden war) war sie in der gleichen Mischung - 20. Weiter ist es sicher, daß das C-Schiffchen des Octen gebildet wurde, da im allgemeinen bei einem Produkt mit gegebenem Molekulargewicht eine höhere Octanzahl mit einem weit höher verneigten Ietzzen verbunden ist.

2.1.2. - Reaktion - Synthese.

Aus einer Arbeit über thermische Reaktionen mit Octen bei 350 bis 725° folgern Smith und Mitarbeiter (12), daß bei tieferen Temperaturen olefinische Produkte vorherrschen, während bei höheren Temperaturen alkyolische und aromatische K. im steigenden Maße gebildet werden. Das Maximum der Bildung von olefinischen Gassen (44 - 48 % des gesamten Produktes) liegt bei 575 bis 700°, während der Beginn der Cracking im Abhangstand der ~~Reaktionstemperatur~~ bei 450 bis 500° liegt. Hugel und Goldfinger (13) finden, daß metallische Katalysatoren die Temperatur, bei denen die Reaktion beginnt, erniedrigen.

Mit dem in dieser Arbeit benutzten Katalysator meldet Octen den Beginn der Reaktion bei 300° mit einer Siedebeginnschwindigkeit von 4. Die Bildung unter diesen Bedingungen war nur 0,07 %, aber 6 % des Produktes (wenn man einen gewissen Rückstand vernachlässigt) siedeten um 6° tiefer als das Cetylaliprodukt (bei Unterdruck). Bei 350° waren etwa 9,5 % des Produktes zu Gasolin und Gas gespalten; aber von dem nordamerikanischen Normdiesel siedeten eben 50 % um 9° tiefer als das Cetylaliprodukt. Diese Produktion dürfte aus niedrigen aliphatischen Komponenten bestehen, da keine gesättigten Produkte vorhanden waren, wie sie die Bildung von 14 und 15 C-Kohlenstoffen besitzen. Im Versuch 2 331 wurde die tiefer siedende Normdieselkomponente bei 350° unter denselben Bedingungen katalytisch gespalten wie sie für das Originalocten angewendet wurden. Es wurde deutlich, so viel Cracking erzielt. Diese Ergebnisse bestätigen die vorstehenden Folgerungen zu bestätigen, die mit den n-Octen-Produktions-

111462

002949

erzielt wurden, nämlich dass die Krackung von normalen flüssigen, gradkettigen Cetenen über den vorhandenen Katalysator durch Isomerisierung eingeleitet wird.

Die bei der Krackung von Ceten erhaltenen Ergebnisse sind in Tabelle IV gesammelt.

Tabelle IV.

Katalytische Krackung von Ceten.

	300	350	350*	400	450
Oftentemperatur °C					
Vers.-Dauer Std.	3,93	4,0	2,67	4,0	2,73
Strömungsgeschwindigk.	4,0	4,0	4,0	4,1	4,0
Eingesetztes Ceten g	1250	1255	830	1270	887
Flüss. (gesamt)	99	99,5	98,5	95	94
Prod. (Benzin 10-200°)	0,0	2,1	15,1	45,0	29,5
Gew.% vom Cet. (A.S.T.M.)	77,8	80,6
Einsatz (O.Z.; nach Hydrierung)	24,1	51,6
(Zwischenfraktion					
(von 200° (750) bis					
(125° (14 mm)	0,0	0,6	1,1	5,0	0,0
(Tiefsiedende Hexa-	0,0	44,9	70,9	26,9	13,0
(decene					
Ceten und Bodenpro-					
dukt,	91,0	47,5	9,9	18,3	1,1
(Gew.% d. Einsatzes	0,07	0,44	1,1	4,5	14,2
(Mol. Gewicht	49,2	51	52,5	51	51,2
(H ₂	0,0	0,0	1,5	0,0	0,0
(CH ₄	0,0	0,0	1,2	0,0	0,0
(O ₂ H ₄	20,3	0,7	0,0	3,9	0,0
Gasförm.					
Prod. (Ana-	O ₂ H ₆		7,3	0,9	0,0
(lyse	O ₂ H ₆	5,5	12,2	10,1	25,0
(Vol.%	O ₂ H ₆	29,7	17,0	4,6	2,1
(O ₃ H ₈				3,2
((1-O ₂)H ₈	5,6	14,0	29,5	10,6
((m-O ₂)H ₈				29,0
((C ₄ H ₁₀	41,0	32,4	8,0	6,9
Verluste Gew.% d. 'Eins.'	0,9	1,6	1,9	1,6	0,3
(einschl. Destill.-Verl.)					

a) Der Einsatz enthält 90 % tiefssiedende Hexadecene und 10 % Cetene.

- 10 -

11463

002950

Um und darauf folgend Messungen wurden, und das Volumen des von 1000 ml Wasser aus der Tropfensonde mit einem der Temperatur abweichen, die zu dem Zeitpunkt, als die Tropfensonde ausgetauscht wurde, die Temperatur aufgenommen. Nachdem diese Werte aufgenommen waren, wurde das Volumen wiederum nach dem Tropfen ausgetauscht.

Um das Volumen der Tropfensonde zu kontrollieren, die gleiche Ablesung wiederholen und die Abweichungen der Werte im eingeschlossenen Gefäß kontrollieren. Die Werte sind der Tabelle dargestellt.

Ergebnisse V.

Zusammenfassung der Ergebnisse

Oberflächentemperatur °C	200	200°	400	400°
Spülung 1	6.1	17.3	53.3	53.4
1.1	9.0	9.4	9.5	9.5
1.2	9.0	9.3	9.5	9.5
1.3	9.2	9.3	9.5	9.5
1.4	9.3	9.2	9.5	9.5
1.5	9.3	9.2	9.5	9.5
1.6	9.3	9.2	9.5	9.5
1.7	9.3	9.2	9.5	9.5
1.8	9.3	9.2	9.5	9.5
1.9	9.3	9.2	9.5	9.5
2.0	9.3	9.2	9.5	9.5
2.1	9.3	9.2	9.5	9.5
2.2	9.3	9.2	9.5	9.5
2.3	9.3	9.2	9.5	9.5
2.4	9.3	9.2	9.5	9.5
2.5	9.3	9.2	9.5	9.5
2.6	9.3	9.2	9.5	9.5
2.7	9.3	9.2	9.5	9.5
2.8	9.3	9.2	9.5	9.5
2.9	9.3	9.2	9.5	9.5
2.10	9.3	9.2	9.5	9.5
2.11	9.3	9.2	9.5	9.5
2.12	9.3	9.2	9.5	9.5
2.13	11.6	6.7	9.5	9.5
2.14	9.0	9.0	9.5	9.5
2.15	9.3	9.2	9.5	9.5

Durchschnitt:

11464

In dem kleinen 2000-Tonnenhafen und an dem kleinen 4000-Tonnenhafen sind die beiden Betriebe zusammengefasst und beide Betriebe sind von der Kuhchemie AG übernommen worden. Der Hafen von 100 Tonnen kann nur noch für den Export genutzt werden. Der Hafen von 4000 Tonnen kann nur noch für den Import genutzt werden. Der Hafen von 2000 Tonnen ist der kleinste Hafen der Kuhchemie AG und wird nur noch für den Export genutzt. Der Hafen von 4000 Tonnen ist der größte Hafen der Kuhchemie AG und wird nur noch für den Import genutzt. Der Hafen von 2000 Tonnen ist der kleinste Hafen der Kuhchemie AG und wird nur noch für den Export genutzt. Der Hafen von 4000 Tonnen ist der größte Hafen der Kuhchemie AG und wird nur noch für den Import genutzt. Der Hafen von 2000 Tonnen ist der kleinste Hafen der Kuhchemie AG und wird nur noch für den Export genutzt. Der Hafen von 4000 Tonnen ist der größte Hafen der Kuhchemie AG und wird nur noch für den Import genutzt.

Stellung 17:

[REDACTED] und [REDACTED]

Stellung 17:
[REDACTED]
[REDACTED]
[REDACTED]

0.16	→	Z ₁ Z ₁₆	0.0	0.0	0.0
0.16	→	Z ₁ Z ₁₅	0.0	0.0	0.0
0.16	→	Z ₁ Z ₁₄	0	0.2	0
0.16	→	Z ₁ Z ₁₃	0	0	0
0.16	→	Z ₁ Z ₁₂	0.0	0.0	12(17)
0.16	→	Z ₁ Z ₁₁	1.0	1.0	1.0
0.16	→	Z ₁ Z ₁₀	1.0	1.0	1.0(17)
0.16	→	Z ₁ Z ₉	0.0	0.0	0
0.16	→	Z ₁ Z ₈	0.0	0.0	0

Z ₁ → Z ₁₆	Z ₁ → Z ₁₅	Z ₁ → Z ₁₄	Z ₁ → Z ₁₃	Z ₁ → Z ₁₂	Z ₁ → Z ₁₁	Z ₁ → Z ₁₀	Z ₁ → Z ₉	Z ₁ → Z ₈
0.0	0.0	0.0	0.0	12(17)	1.0	1.0	1.0(17)	0

C₁ [REDACTED] und [REDACTED]

1000 der 2000-Tonnenhafen und 2000 der 4000-Tonnenhafen werden abgebaut.
Der 2000-Tonnenhafen wird abgebaut.
Der 4000-Tonnenhafen wird abgebaut.

11465

Ceten und dem niedriger stehenden Homologen gefunden wurde, zeigt, daß die Produkte, die vom Ceten abgeleitet sind, die gleichen sind, wie die aus den 1-Ketonesen und sie stützt die Annahme, daß die Oxydation der verarbeiteten durch eine Isomerisierung eingeleitet wird.

Die Destillationskurven (erhalten mit einer Benzyl-alkoholische mit 17 mm) des bei 400° und 450° gewonnenen hydrierten Butinins (Fig. 4 u. 5) zeigen bei den gleichen Temperaturen gleichlange Stufen; doch sind die tiefer liegenden Geraden bei der 450° Kurve breiter und die höher liegenden höher, was einer zweiten Oxydation der höher stehenden Rohstoffprodukte entspricht. Diese Steigerung der Menge der tiefer stehenden Produkte ist wahrscheinlich auch für die gefundenen höheren Octosäuren zu ungesättigten wie im hydrierten Butinin, das bei 450° hergestellt wurde, verantwortlich, wenn man es mit dem 400°-Produkt vergleicht (vgl. Tab. IV).

Die geraden Teile der Destillationskurve zeigen das Vorhandensein von Isopentan (20°), 2-Methylpentan (40°), möglicherweise 3-Methylpentan (61°), 2,3-Dimethylbutan (56°), die Butylketone (90 - 91°) möglicherweise auch 2,3-Dimethylpentan (90°), die Butylheptane (117 - 119°), möglicherweise auch 2,3-Dimethylhexan (116°), die Butylacetane (ca. 142°), die Methylketone (ca. 160 - 165°) oder Dimethylacetane (ca. 156-160°) und die Butyldecanoate oder Dimethylketone (ca. 175 - 185°) an. Die Brechungsindizes und die Dickepunkte von 450°-Produkt sind in Tab. VII angegeben.

Zahltafel VII.

Vorgeschlagene Verbindungen, die in Butinin aus Ceten bei 450° erhalten wurden.

Verbindung	gefunden		Möglichkeit gezeigt	
	Stichp. °	%	Stichp. °	%
Isopentan	27.0-28.2	1.1543	28.0	1.1544
2-Methylpentan	39.0-40.0	1.1712-1.1720	40.0	1.1717
3-Methylpentan	61.0-62.0	1.1722	61.0	1.1722
Butylketone	89.0	1.1800	89.0	1.1800
Butylacetane	90.0	1.1802	91.0	1.1802
2,3-Dimethylbutan	116.0	1.2022	117.0	1.2022
2,3-Dimethylpentan	117.0	1.2020	118.0	1.2020
2,3-Dimethylhexan	118.0	1.2020	119.0	1.2020

Durchschrift

11466

Es ist beweisend, daß keine bemerkenswerten Mengen von α -Terpeninen in irgend einer Fraktion des Distills enthalten, was bedeutet, daß beide bei der Oxydation von Cetin erhaltenen Spaltstufen isomerisiert sind.

Da zu erwarten war (4), daß die thermische Spaltung vornehmlich in β -Stellung zur Doppelbindung stattfindet (eine Beobachtung, die in vorliegender katal. Arbeit aus der Abwesenheit bemerkenswerten Mengen gesättigter Produkte, die weniger als 3 C-Atome enthalten, hervorgeht) und da weiterhin aus Tab.VI klar hervorgeht, daß die Spaltung in gleicher Weise bei jeder C-C-Bindung des Moleküls (ausgenommen bei den drei endständigen Bindungen) stattfindet, können wir annehmen, daß Cetin hauptsächlich entsprechend den folgenden aufeinanderfolgenden Stufen katalytisch gespalten wird: 1.) Isomerisierung von Cetin zu tiefer siedenden verzweigten Kettencetinen entweder mit oder ohne Widerruf der Doppelbindung, 2.) Spaltung der Kette in gleicher Weise an jeder Bindung des Moleküls mit Ausnahme der den Enden nahe liegenden, 3.) Isomerisierung von einem normalen zitroen-, olivenförmigen Produkt zu Isocetinen und 4.) bei höherer Verarbeitung oder bei höheren Temperaturen schließlich Reaktion der Zwischenprodukte mit höheren Ketten wie bei den Stufen 2 und 3, so daß die Mengen der Produkte mit weniger als 8 C-Atomen ansteigen, während die Mengen mit mehr als 8 C-Atomen abnehmen.

Es soll weiter darauf hingewiesen werden, daß geringe Mengen von pyrolytischen Produkten gebildet werden, und daß auch dementsprechend entweder Dicetine (nicht unbedingt unregelmäßige), Acetylene, Cycloolefine oder Aromaten im Produkt entstehen müssen. Außerdem verdeutlicht die geringe Menge eines Kohlenstoffabscheider bei Katalyse der Bildung eines unzureichenden Hauses Wasserstoff um einen Teil der olefinischen Produkte zu hydrieren.

Zusammenfassung

Eine frühere Arbeit gab schon eine hinreichende Zusammenfassung über die katalytische und pyrolytische Verarbeitung

X1467

wurde zuerst (15, 16). Im Verlauf der katalytischen Arbeit wurden zweite Gruppe als Katalysatoren eingesetzt, von den zweiten Arbeiten her aus dem Zeitraum 1950 bis 1952. Hierbei wurde (16) die volle Arbeit und (15) eine weitere Arbeit eingesetzt, so dass die Ergebnisse von (16) übernommen werden.

Zwei katalytische Reaktionen von (15) wurde bei 200, 240, 275 und 370°C mit einem kleinen Überschuss an Benzylchlorid von 3 Molprozent 22. Octen und Volatilen unter 20 Minuten Reaktionszeit. Die Ergebnisse sind im Tab. 7222 zusammengefasst.

Tab. 7222

ANALYTISCHE GRADUATIONEN

Reaktionstemperatur °C	200	240	275	370
Volumenprozent 22. Octen.	0,3	0,5	0,5	0,5
a) Benzylchloridkonzentration.	4,1	4,3	4,2	4,2
Reaktionstemperatur 200°C	245	272	167	147
Durchschnittsproduktivität g	741	148,4	102	130
(Summ. % des Kinetikos)	1,5	2,7	4,0	5,6
Volatil. im H. Z.	2,0	2,9	4,1	5,7
Wasser.	34,5	34,0	34,5	34,7
Alk. 1.	16,3	15,1	14,0	9,0
Alk. 2.	24,7*	22,5*	21,0	6,1
Alk. 3.	29,3	19,0	19,3	12,0
Alk. 4.	27,6	22,6*	7,2	7,0
Alk. 5.	27,6	22,6*	20,0	24,0
Alk. 6.	27,6	22,6*	14,3	11,0
Alk. 7.	2,0	7,3	5,1	4,1
Alk. 8.	1,0	1,0	1,0	0,0
Alk. 9.	1,0	1,0	1,0	1,0
Volumenprozent 22. Octen.	0,3	~0,7	~0,9	0,9
a) Benzylchloridkonzentration 2,10.	b) Benzylchloridkonzentration 2,00/2,00			
a) Benzylchloridkonzentration 2,00.	b) Benzylchloridkonzentration 2,00/2,00			

11463

Zu nur wenig Material ausgewandert und wenig Reaktionsprodukt erhalten wurde, wurde eine vollständige Analyse nur bei dem 770°-Versuch durchgeführt. Die Ergebnisse sind in Tab. IX zusammen mit vergleichbaren, theoretischen Beobachtungen, welche aus den Angaben von Schmidherz gemacht wurden, dargestellt.

Tabelle IX.

Reaktionstemperatur und Reaktionszeit (770-11463).

	Reaktionstemperatur 770	Reaktionstemperatur 770
Reaktionstemperatur °C	770	770
Reaktionszeit min.	1,0	12,7
Spaltung %	11,0	15,4
Molekulargewicht pro Mole gesetz. System	204	308
	13	0,3
	7	77
	19	46
	11	57
	52	46
	18	6,3
	22	13
	7	7,3
	78	13
	16	21
Verteilung Gew.% von gesetztes.	2,2	0,6
Ergebnisse der Analysen der Produkte:		
Mole pro 100 Mole gesetztes System	0,410	
	0,3	
	0,6 + 0,7	
Verteilung Gew.% von gesetztes.		

Ergebnisse der Analysen der Produkte im gesetzten System bestätigt werden konnten, bei ein Vergleich gemacht, weil nach bestimmten Regeln, die sie die entsprechende Konzentration der Analyse des Produktes die gleiche waren, wenn die Konzentration von 10 auf 13 % gesenkt wurde, ebenso, dass sie sich nur wenig von der bei 510° erhaltenen unterscheiden.

- 16 -

711463

schreibt¹⁸, 11 % Cracking erreicht wurden. Weiterhin ist die unvollständige Analyse von Bintzes und Shanks (17) für 13 % Umwandlung bei 570° eine gute Kontrolle der von Harrelson für 19% Umwandlung bei der gleichen Temperatur, indem sie zeigt, daß in wesentlichen die gleichen Reaktionen über einen weiten Temperatur- und Umwandlungsbereich stattfinden.

Aus Tab.II geht hervor, daß die pyrolytische Cracking eine größere Menge Methan, Ethan und Ethylen liefert als die katalytische und geringere Mengen C₅-C₇, N und Wasserstoff. Ferner geht aus den Arbeiten von Harrelson und von Bintzes und Shanks hervor, daß zur Erreichung einer pyrolytischen Cracking von 11 % bei 570° eine Reaktionszeit von 7 bis 8 sec. nötig sein dürften. Der Katalysator verkürzt daher die Reaktionszeit auf 47 oder 48. Es ist außerdem bemerkenswert, daß die n-Octene so-viel schneller verlegt werden, als bei 375° zweimal so viel gezeigt war wie n-Octen bei 570° bei der gleichen Einsatzmenge.

Cetene - Cracking.

Die thermische (12, 18) und die katalytische (19) Cracking von Cetene wurde von Guhl und Mitarbeitern studiert, welche feststellten, daß in Abwesenheit des Katalysators die Kohlenstoffkette ohne Unterschied an irgendeinem Punkt unterbrochen wurde, daß sich aber mit steigender Temperatur der Punkt der Spaltung dem Ende der Kette näherte. Die Verwendung von Quarz oder Zinnstein als Rohrfüllung erzielte die Crackingstemperatur etwas. Diese Temperaturveränderung ist wahrscheinlich eher durch eine wirklichere Wärmeübertragung und das Reaktionssystem als durch irgendeine katalytische Eigenschaft von Quarz oder Zinnstein begründet. Die vom Guhl studierten Katalysatoren waren Metalle (z.B. Nickel), so daß die ausgetührten Reaktionen eher die C-H-Bindungen als die C-C-Bindungen angriffen. Solche katalytische Resultate sind mit der gegenwärtigen Arbeit nicht vergleichbar.

In dieser Arbeit wurde Cetene katalytisch bei 500°

~~111470~~

mit einer Flüssigkeits-Durchgangsgeschwindigkeit von 4 cm⁻¹ erzielt. Wegen gewünschter Durchlässigkeit und der begrenzt verwendbaren Menge Oeten wurde das aus dem ersten Durchgang hergestellte Oeten (das im Originalrohrbereich einheitliche Durchgangsgeschwindigkeit und das vom zweiten Durchgang unterschiedliche elektronische Durchlässigkeit) die zugeschätzten Tiefenverhältnisse der drei Durchgänge wurden vermindernd und hydriert. Die Oeten wurden getrennt analysiert, welche geben die wasserlöslichen die günstige Zusammensetzung. Die Zusammensetzungswerte sind in Tab. I und II gesetzt.

Tabelle I.

Molekulare Struktur von Oeten bei 200°.

Durchg. 200.	0,74
Durchgangsgeschwindigkeit cm/cm. Intervall/Std.	4,0
Oeten-Oeten-Zusamm.	2720
Flüssigkeitsdruck >10 ³ Gew./S. d. Röhr.	00,5
Zentris 10 - 200° " "	0,9
Schmelztemperatur 200° (770)-144° (13 mm)	144
Oeten 144 - 147° (13 mm)	147
Widerstand	1,0
Gewichts. Prozents.	
Gew.-% vom Elementen	11,1
Wet. zu 2.	147
Wet. Gew.	00
Volumen Gew.-% vom Elementen	0,6

- 18 -

11471

Table XI.

Produkte der Cetum-Spalten.

Produkt	Vol.-%	Mole pro 100 Mole Cetumketon-Öl
H ₂	1,5	3,7
CH ₄	1,7	4,2
C ₂ H ₄	1,0	2,4
C ₂ H ₆	2,0	4,8
C ₃ H ₆	32,0) Gas	63
C ₃ H ₈	12,0	28
1-OH ₂	11,5	26
2-OH ₂	21,0	51
C ₄ H ₁₀	16,0	39
C ₅	4,2	41
C ₆	2,0 Benzin	25
C ₇	1,1	4,3
C ₈ -C ₁₂	19	11,4
C ₁₃ -C ₁₅		10,3

a) angenomm. Mol.-gew. 130

b) " " " 196

Aus der Tabelle, das die 100 Mole pro
ausgetrennten Cetum enthalten 370 Mole Rückstandsmoleküle und 630
wurden nicht beworfen, da dies unverarbeitbar waren, sind die
Prinzipprodukte oben und zu keinem Reaktionsgrad bestimmt.
Es kann nunmehr vermutet werden, daß die Reaktionen
nach folgenden Modellen verlaufen. Es ist überdies interessant, daß zwei
reakzierende Mol. umfassen je ein mit C₃, C₄ und XV im Molekül
bestehend das Benzine gibt, während eine Reaktion mit dem
Zyankalium für die Bildung von C₃- und C₄-ketonen verantwortlich
wird. In dieser Hinsicht unterscheiden sich die Reaktionen von
diesen von Smith (12, 13) bei der thermischen Zersetzung, in dem
seine Produkte zu dem zählig führten, und der beginn der Reac-

11/1472

- 19 -

setzung ein Abbrechen der endständigen Gruppen unter Bildung von Methan und Ethylen sei. Obgleich genüge Vergleiche mit der Arbeit von Gault wegen der Unvollständigkeit seiner Angaben nicht möglich sind, scheint es, daß bei den in letzten und geführten Reihen durchgeführten Versuchen höhere Temperaturen und längere Berührungszeiten benötigt werden, um den in unseren Experimenten gefundenen Grad der Cracking zu erreichen.

Das Übergewicht von kleinen Molekülen in der vorliegenden Arbeit und die analytischen Daten zeigen, daß entweder die primären Reaktionsprodukte weniger beständig sind als das Cetan selbst, und daß sie um $75 - 100 \text{ s}$ in sekundäre Produkte im Vergleich mit der 70%igen Zersetzung von Cetan umgewandelt werden, oder daß das Cetan-Molekül an mehreren Stellen gleichzeitig zerstochen wird.

Die größere Beständigkeit von n-Cetan im Vergleich gegen Cetan geht aus seiner 11%igen Zersetzung mit dem gleichen Katalysator, der gleichen Strömungsgeschwindigkeit und bei einer um 70° höheren Temperatur (570°) als sie für die 70%ige Zersetzung von Cetan benötigt wird, hervor.

Das hydrierte Benzin der Cetan-Spaltung hat eine A.S.T.M. Cetanzahl von 70. Die Destillation des hydrierten Produktes in einer Dampfturbinen-Kolonne mit 17 theoretischen Böden gab eine in Fig. 3 gezeigte Destillationskurve und zeigte die Anwesenheit von Isopentan (Kiedep. 25°), n-Pentan (Kiedep. 36°), 2-Methylpentan (Kiedep. 56°), n-Hexan (Kiedep. 67°) und 2-Methylhexan (Kiedep. 90°) an; 1-Methylhexan (Kiedep. 75°) und 2,2-Dimethylpentan (Kiedep. 90°) konnten nachgewiesen werden. Kein n-Heptan schien vorhanden zu sein. Wegen der geringen verfügbaren Mengen Benzin konnten höher stehende Destillationsfraktionen nicht bestimmt werden. Isopentan, Isobutanol im Benzinkreis und in größeren Mengen als die entsprechenden Benzinkreisfraktionen vorhanden.

- 20 -

- 27 -

11473

Experimenteller Teil.

Materialien.

μ -Butin wurde durch Polymerisation von 2-Butenal über aktivierte Rauten gereinigt. Eine Säulendestillation ergab folgende prozentuale Zusammensetzung: C₃ KW 0,2 1-Butin 15,2, 2-Butin 84,8 C₄ und höher 0,0. Eine kleine Menge des Butins und Buten blieben auch unverändert gewesen sein. Die C₄-Fraktion enthielt im Säulengut folgende 1,35 und im Siedegut ziemlich genau 95% Anhydride.

1-Butin wurde aus einem unangefüllten Rohr (134,0 bis 135,0°) von Zentrum Tsch. Isolierter durch Polymerisierung über aktivierte Rauten bei 400° gereinigt. Die Pentenfraktion wurde von nicht ungesetzten Anhydriden getrennt und über Naph in einer kleinen Säule (10') abdestilliert mit 50 Niedern destilliert. Das in dieser Arbeit verwendete Produkt besteht von 26 - 31° und hatte einen Brechungsindex n_{D}^{20} = 1,37100 in Übereinstimmung mit dem Literaturwert n_{D}^{20} = 1,3711 (30). Nach der Hydrierung war der Zwei. n_{D}^{20} = 1,3574 in Übereinstimmung mit dem Literaturwert des Reaktionsproduktes n_{D}^{20} = 1,3576. Eine Destillation mit einer Säule von 17 Niedern zeigte 104° mit einem Maximum von 18,5% Zweitens und ein Minimum von 67,5% α-Penten an.

Isobutin und Isobutene. Wie bei den Pentenen hat man um 400° vorbereiteten Oetzen durch Polymerisierung über C₄oxy2-Alkohol über aktiviertes Rauten bei 400° gereinigt und durch Destillation durch eine Kieselgelsäule gereinigt. Eine Destillationstabelle mit einer kleinen Zähler-Säule (10') - 10 thermischischen Niedern ist in Fig. 1 gezeigt. Beim Zwei. 10' destillieren unter 121° und 7,5 % über 135°. Das Isobutindestillat war n_{D}^{20} = 1,4131. Das beim Zwei. bei 375° destilliert war n_{D}^{20} = 1,4133. Das beim Zwei. bei 375° destilliert war n_{D}^{20} = 1,4133 die Fraktion der übrigen Oetzen, welche bei 121,2 - 122,0° die Fraktion der übrigen Oetzen, welche bei 121,2 - 122,0°

- 28 -

11474

- 21 -

Das n-Octen wurde durch Hydrierung des mit der Regel-Kolonne gewonnenen Schnittes von n-Octen gewonnen und hatte einen Brechungsindex $n_D^{20} = 1,3979$ im Übereinstimmung mit den Literaturwert $n_D^{20} = 1,3980$ (11). Der Schmelzpunkt war -55° .

Unters. Dupont Diesel Standard Octen wurde ohne jede weitere Reinigung verwendet.

Unters. Dupont Octen (Kochn.) wurde im Vakuum in einem Ullmann-Kolben mit einem 6 Ball (15 cm) Vierstufigen-Schwamm destilliert und die bei $148 - 151^\circ$ bei 7 mm ($n_D^{20} = 0,7770$) siedende Fraktion wurde für diese Arbeit verwendet. 13,5 % tiefere siedende und 12 % höher siedende Anteile wurden verworfen. Alle Analysen des Vakuumdestillates wurden in gleichen Ullmann-Kolben wie oben beschrieben ausgeführt.

Experimentelle Arbeit: Der Reaktor wurde mit einer Rührerhebelgruppe (22) in einem elektrisch geheizten Vorwärmer aus rostfreiem Stahl in Röhrenform bei einer Temperatur gepumpt, so das der entstehende Dampf die Reaktionsröhre erwärmt und von da in einem 100cm langen Kontaktrohr aus rostfreiem Stahl, welches mit 6 - 10 Minuten großen Kontaktkörnern in einer Länge von 15 cm gefüllt war. Oben auf dem Kontaktrohr in einem elektrisch gehärteten Absatzfeuer wurde Meek gehalten wurde, der auf eine $\pm 5^\circ$ konstante Temperatur gehalten wurde, schwankte die tatsächliche Temperatur des Kontaktrohrs (die mit einem beweglichen Messfühlerstrompendellement gemessen wurde) der Reaktion unterhalb, wahrscheinlich. z.B. war die Reaktion im Vorwärmer mit Octen bei 400° endotherm und es entstand ein Temperaturabfall von 40° zwischen dem oberen und dem unteren Teil des Reaktionsraums. Bei den Penten-Versuchen war im ersten Teil des Kontaktrohrs ein Temperaturanstieg zu beobachten auf welchen Temperaturabfall folgte, so das, gleich der Ofen auf 400° gehalten wurde, die tatsächliche Temperatur am Katalysator zwischen 410 und 370° schwankte. Auch in den Butylensversuchen wurde ein Temperaturanstieg beobachtet. Um diese unerwartet großen Temperaturschwankungen zu erklären, wurde eine Reihe von Hypothesen erworben, aber keine von ihnen war befriedigend.

- 22 -

002962

11473

- 22 -

Die Reaktionsprodukte wurden durch einen Wasser-
kühler geleitet und durch einen senkrechten Rückflusskühler
mit Eis, der auf einem Sammelgefäß für das Flüssigprodukt
aufgesetzt war. Die Gase wurden mittels einer kombinierten
Tafttemperatur-Destillation und Absorptionsanalyse untersucht.
Bei der Butylen-Analyse wurde für die Absorption von iso-
Butylen 63%ige Schwefelsäure und für die Absorption von
n-Butylen 97%ige Schwefelsäure benutzt. Der kondensierbare
Teil der Gase wurde in einer Trekkeneis-Trichlor-Kthylen-
Masse gesammelt und die C₅ und höher siedenden ZW. mit den
früher beschriebenen (21) Koloane durch Tafttemperatur-
Destillation festgestellt. Das im Flüssigprodukt gelöste Gas
wurde in der gleichen Kolonne abgetrennt und separat ana-
lysiert, obgleich in manchen Fällen eine gewichtsmäßig
zusammengesetzte Probe von allen gasförmigen Produkten ana-
lysiert worden war. Für die Bestimmung von Butadien (23)
wurde die Absorption in Maleinsäure benutzt.

- 23 -

1140

Zusammenfassung.

Eine Anzahl von Kohlenwasserstoffen, die bei atmosphärischem Druck in Gegenwart von aktivierten Aluminium-Silica-Katalysatoren gebrüht wurden, zeigte folgendes Verhalten:

- 1.) Eine Mischung von 1 u. 2 n-Butylen wurde im Temperaturbereich zwischen 375 und 600° weitgehend isomerisiert, wobei gleichzeitig Polymerisation und Cracking eintraten. Zwischen 450 und 600° war der iso-Butylengehalt der den Ofen verlassenden C₄-Fraktion 24,1 ± 1,5 %.
- 2.) Das n-Pentylen zeigte Reaktionen ähnlich denen des Butylen bei Ausbeuten von 50 % iso-Pentylen bei 400°.
- 3.) Eine Mischung von n-Octylenen erlitt sowohl katalytische Isomerisierung zu iso-Octylen als auch katalytische Spaltung zu gasförmigen Produkten, die hauptsächlich aus gleichen Beträgen n- und iso-Butylen bestanden. Die Resultate sind mit der Annahme in Übereinstimmung, daß vor der Cracking eine Isomerisation verläuft. Im Temperaturgebiet von 375 - 400° erreicht man 50 % Umsetzung.
- 4.) Die Primärreaktion beim Octen im Bereich von 300 - 450° war eine Isomerisierung zu iso-Hexen-Decen. Die folgende Reaktion war eine Cracking zu niedriger siedenden Olefinen, begleitet von einer Isomerisierung der n-olefinischen Produkte zu iso-Olefinen. Das iso-Hexen-Decen wurde katalytisch etwa 3 mal so schnell gebrüht wie das Octen selber.
- 5.) n-Octan wurde katalytisch etwa 7 - 8 mal schneller gespalten als thermisch. Die katalytischen Spaltprodukte enthielten mehr C₃ bis C₇-Kohlenwasserstoffe und weniger Methan, Äthan und Ethylen als die thermischen Spalt-

14-6

produkte. Die Temperatur für die katalytische Spaltung des Cetans war ca. 200° höher als die für die Spaltung des Octans erforderliche.

- 6.) Cetan wurde katalytisch hauptsächlich zu C₃, C₄ und C₅-Kohlenwasserstoffen aufgespalten. Die Crackprodukte im Siedebereich des Benzens enthielten sowohl verzweigte als auch gesättigte Kohlenwasserstoffe im Gegensatz zu den Produkten der Octanspaltung, die im wesentlichen alle verzweigt waren.

Obwohl das Verhalten beim thermischen Cracken von Cetan und Octan ganz ähnlich ist, ist Cetan doch wesentlich stabiler gegen das katalytische Cracken als Octan. In beiden Fällen sind die Spaltprodukte der katalytischen Crackung ganz verschieden von denen der thermischen Crackung.

Anmerkungen:

- (1) Egloff and Bloch, Proc. Second World Petroleum Congr. Paris, France, 2 (II), 461 (1937).
- (2) Frost, Rudkovskii and Serebryakova, Compt. rend. acad. sci. U.R.S.S. (U.S.S.R.) 4, 373 (1936); Serebryakova and Frost, J. Gen. Chem. (U.S.S.R.) 7, 122 (1937).
- (3) N.V. Betaafseche Petroleum Maatschappij, French Patent 823, 545, Jan. 21, 1938.
- (4) Hurd, Ind. Eng. Chem. 26, 51 (1934).
- (5) Hurd, Goodyear and Goldsby, This Journal, 58, 235 (1936).
- (6) Norris and Renter, This Journal, 49, 2626 (1927).
- (7) Wenn man 12,5 % Isopentene, die im Ausgangsmaterial vorhanden sind waren, abrechnet; vgl. experimenteller Teil.
- (8) Hugel and Saayns, Ann. combustibles liquides 1, 781 (1926).

11478

002965

- (9) Petrov and Cheltsova, Compt. rend. acad. sci. U.R.S.S., 15, 79 (1937).
- (10) Braum, Ind. Eng. Chem., Anal. Ed., 8, 224 (1936).
- (11) Grosser and Egloff, "Physical Constants of Paraffin Hydrocarbons," published by Universal Oil Products Co., Chicago, III., 1938.
- (12) Gault and Altchidjian, Compt. rend., 178, 2092 (1924); Ann. chim., (10) 2, 209 (1924); Gault, Hessel and Altchidjian, Compt. rend., 178, 1562 (1924).
- (13) Hugel and Goldthorpe, Ann. combustibles liquides, 3, 613 (1928).
- (14) Tengberg, Quiggle and Penske, Ind. Eng. Chem., 26, 1212 (1934).
- (15) Egloff, "Reactions of Pure Hydrocarbons", Reinhold Publishing Co., New York, 1937.
- (16) Marschner, Ind. Eng. Chem., 30, (1938).
- (17) Dintzes and Sherko, J. Gen. Chem. (U.S.S.R.), 6, 63 (1936).
- (18) Gault and Barmann, Ann. combustibles liquides, 1, 77 (1926); Gault and Hessel, Compt. rend., 179, 171 (1924); Ann. chim. (10) 2, 319 (1924).
- (19) Gault and Sigwalt, Ann. combustibles liquides, 2, 309, 343 (1927).
- (20) Leendertse, Tulleners and Vaterman, Rec. trav. chim., 53, 715 (1934).
- (21) Thomas, Bloch and Hoekstra, Ind. Eng. Chem., Anal. Ed., 10, 153 (1938).
- (22) Troesch and Mattox, Ind. Eng. Chem., 26, 1938 (1934).
- (23) Troesch and Mattox, Ind. Eng. Chem., Anal. Ed., 6, 104 (1934).

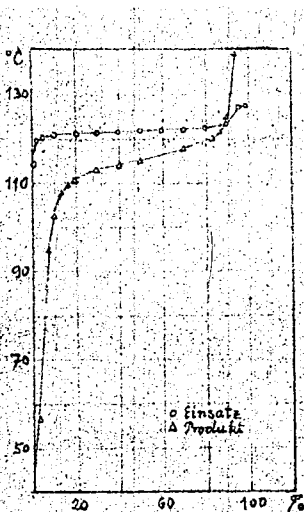
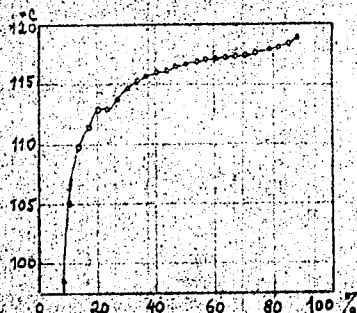
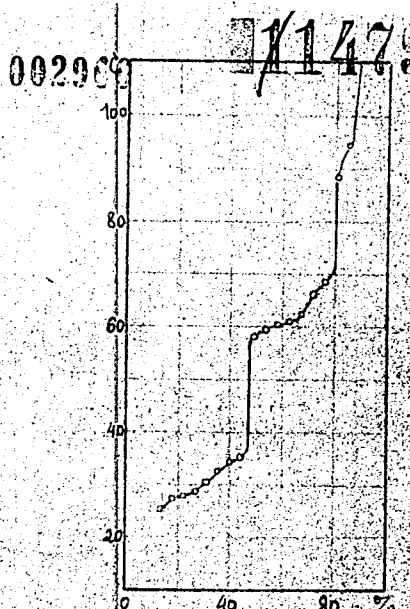


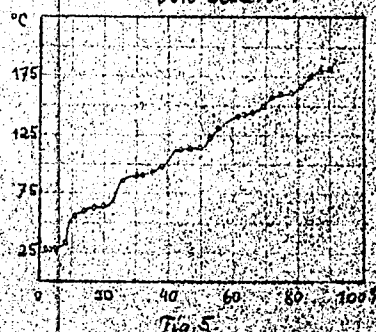
Fig. 1
Katal. Spaltung v. 1- u. 2-Octen
bei 385°C



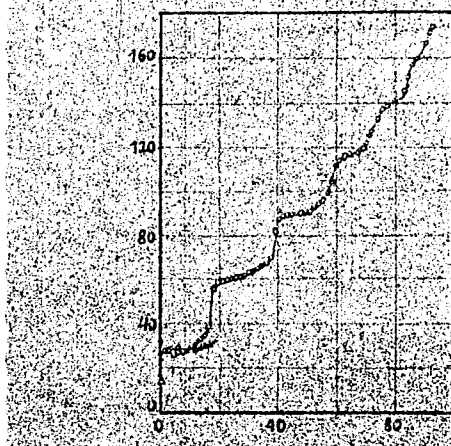
Hydriertes Isoocten aus 1- u 2-Octen
bei 375°C



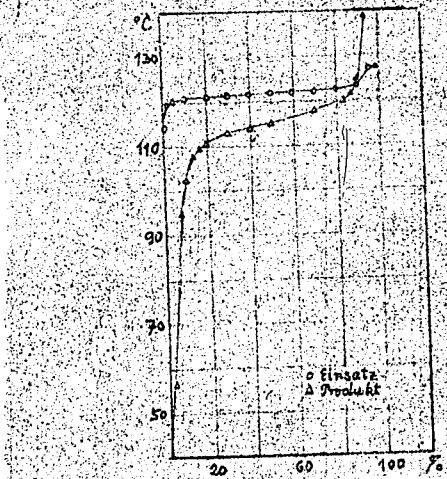
Hydr. Benz in aus der katal. Cracking
von Cetan



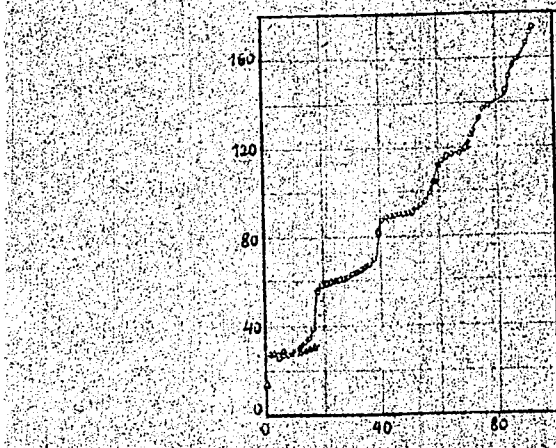
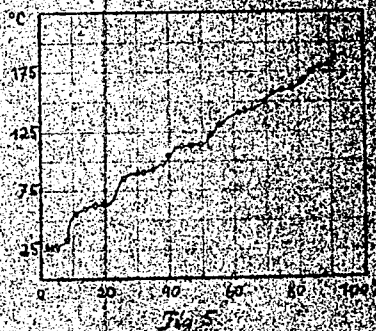
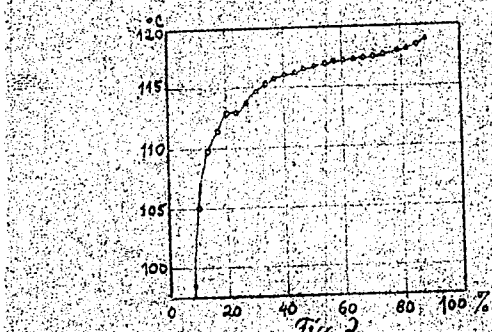
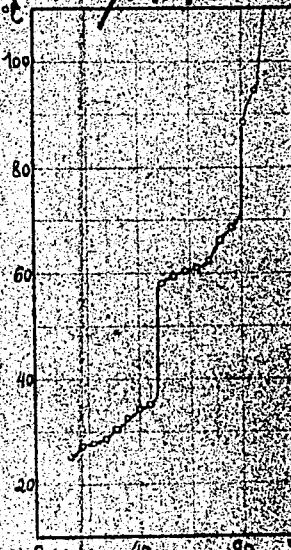
Hydr. Benz in aus der katal. Cracking
von Cetan bei 400°C



Hydr. Benz in aus der katal. Cracking von Cetan
bei 450°C



002967 1480



Archemie Aktiengesellschaft

Oberhausen-Holten

Abt. HL - Tr/Mn.

40/2/6

11481
B
12. Februar 1940.

002968

Herrn Dr. H a g e m a n n .

Betrifft: Katalytische Spaltung.

In der Besprechung am 10.2.40 wurde festgelegt, daß zur Erprobung bei der katalytischen Spaltung dem Hauptlaboratorium gewisse Mengen der ungesättigten Dieselöl- und Paraffin-^{Götzsch}-Kontaktfraktionen, die über Eisenkontakte gewonnen sind, zugeleitet werden sollen. Ich bitte höflich um entsprechende Vermittlung.

In einem im Dezember 1939 im Journal of the American Chemical Society erschienenen Artikel von Egloff, Morrell, Thomas und Bloch wird die katalytische Crackung von aliphatischen Kohlenwasserstoffen beschrieben, und zwar sind vergleichsweise über denselben Kontakt n-Butylen, n-Octylen und n-Ceten geleitet worden. Dann sind anschließend Versuche mit n-Octan und n-Cetan gemacht worden. Es hat sich bei diesen Versuchen nun herausgestellt, daß der Crackvorgang bei Olefinen so verläuft, daß die Olefine zuerst über den aktivierten Aluminium-Silica-Kontakten isomerisiert werden und dann aufspalten. Dabei sind diese Kontakte selektiv insofern, als sie die an erster und zweiter Stelle des Moleküls stehenden C-C-Bindungen nicht angreifen. Die anderen Kohlenwasserstoffe entstehen etwa in gleichen Mengen, so daß man nicht von irgendeiner bevorzugten Spaltung irgendeiner Bindung in bestimmter Lage zur Doppelbindung sprechen kann. Sämtliche entstehenden niedrig siedenden Kohlenwasserstoffe sind isomerer Natur. Bei den Paraffin-Kohlenwasserstoffen verläuft die Spaltung schwieriger, u.a. verläuft sie etwa 20 mal so langsam. Außerdem bildet sich füglich etwas mehr Methan und Athan, und die entstehenden Crackprodukte sind nicht so weitgehend isomerisiert. Demnach ist also zu erwarten, daß die aus den Eisenkontakten stammenden Produkte sich bei der

11482

002909

katalytischen Spaltung noch wesentlich günstiger verhalten werden. Es wäre besonders interessant, das bald ausprobieren zu können.

In der Anlage erhalten Sie noch eine Übersetzung der Zusammenfassung.



1 Übersetzung.

X1483

12. Februar 1940.

002970

Übersetzung.

Eine Anzahl von Kohlenwasserstoffen, die bei atmosphärischem Druck in Gegenwart von aktivierten Aluminium-Silica-Katalysatoren geackt wurden, zeigte folgendes Verhalten:

- 1.) Eine Mischung von 1 u. 2 n-Butylen wurde im Temperaturbereich zwischen 385 und 600° weitgehend isomerisiert, wobei gleichzeitig Polymerisation und Crackung eintraten. Zwischen 450 und 600° war der iso-Butylengehalt der den Ofen verlassenden C₄-Fraktion 24,1 ± 1,5 %.
- 2.) Das n-Pentylen zeigte Reaktionen ähnlich denen des Butylen bei Ausbeuten von 50 % iso-Pentylen bei 400°.
- 3.) Eine Mischung von n-Octylenen erlitt sowohl katalytische Isomerisierung zu iso-Octylen als auch katalytische Spaltung zu gasförmigen Produkten, die hauptsächlich aus gleichen Beträgen n- und iso-Butylen bestanden. Die Resultate sind mit der Annahme in Übereinstimmung, daß vor der Crackung eine Isomerisation verläuft. Im Temperaturgebiet von 375 - 400° erreicht man 80 % Umwandlung.
- 4.) Die Primärreaktion beim Octen im Bereich von 300 - 450° war eine Isomerisierung zu iso-Hexa-Decen. Die folgende Reaktion war eine Crackung zu niedriger siedenden Olefinen, begleitet von einer Isomerisierung der n-olefinischen Produkte zu iso-Olefinen. Das iso-Hexa-Decen wurde katalytisch etwa 3 mal so schnell geackt wie das Octen selber.
- 5.) n-Octan wurde katalytisch etwa 7 - 8 mal schneller gespalten als thermisch. Die katalytischen Spaltprodukte enthielten mehr C₅ bis C₇-Kohlenwasserstoffe und weniger Methan, Athan und Methylen als die thermischen Spalt-

- 2 -

Durchdrift

X1484

- 2 -

002971

produkte. Die Temperatur für die katalytische Spaltung des Octans war ca. 200° höher als die für die Spaltung des Octens erforderliche.

6.) Cetan wurde katalytisch hauptsächlich zu C₃, C₄ und C₅-Kohlenwasserstoffen aufgespalten. Die Crackprodukte im Siedebereich des Benzin s enthielten sowohl verzweigte als auch gradkettige Kohlenwasserstoffe im Gegensatz zu den Produkten der Cetanspaltung, die in wesentlichen alle verzweigt-kettig waren.

(Obwohl das Verhalten beim thermischen Cracken von Cetan und Ceten ganz ähnlich ist, ist Cetan doch wesentlich stabiler gegen das katalytische Cracken als Ceten. In beiden Fällen sind die Spaltprodukte der katalytischen Crackung ganz verschieden von denen der thermischen Crackung (die leichte Spaltbarkeit der Olefine und die wesentlich schwerere der Paraffine würde bewirken, daß bei der katalytischen Spaltung bevorzugt immer zuerst die Olefine aus dem Crackstock herumgeholt werden, und daß der dann entstehende paraffinische Crackstock schwerer aufspaltbar geworden wäre, eine Beobachtung, die ja beim katalytischen Spalten tatsächlich gemacht wird, Anmerkung des Bearbeiters)

gez. Kraemer